



MICROFICHE N°

06224

République Tunisiene

MINISTÈRE DE L'AGRICULTURE

CENTRE NATIONAL DE  
DOCUMENTATION AGRICOLE  
TUNIS

الجمهورية التونسية  
وزارة الفلاحة

المركز القومي  
للسويق الفلاحي  
تونس

F 1

DIRECTION GENERALE  
DES RESSOURCES EN EAU

ETUDE HYDROGEOLOGIQUE DE LA NAPPE  
PHREATIQUE DE M'ZIRAA-OUED AID

-000-

SEPTEMBRE 1989

M. ATADI

REPUBLIQUE TOGOISE  
MINISTERE DE L'AGRICULTURE  
DIRECTION GENERALE DES RESSOURCES  
DE L'EAU  
Arrondissement de Golmè

**A** TÉMOIGNAGE DE LA NAPPE  
PHYSIQUE DE M'ZIRAA-OUD AID

---

AYADE Mohamed

## **S O M M A I R E**

---

### **I. Introduction**

### **II. Hydrologie**

- 2.1. Caractéristiques physiques**
- 2.2. Ruissellement**

### **III. Caractéristiques géologiques et tectoniques**

- 3.1. Caractéristiques géologiques**
- 3.2. Caractéristiques tectoniques**

### **IV. Corrélations à travers la plaine de N'siria - Oued Aïd**

- 4.1. Coupe Dj. Asira - Dj. Bou Nejma**
- 4.2. Corrélation el Dhefafet - Souhat**

### **V. Caractéristiques hydrogéologiques**

- 5.1. Les formations aquifères**
- 5.2. Pédométrie de la nappe de N'siria Oued Aïd**
- 5.3. Alimentation de la nappe phréatique de N'siria oued Aïd**
- 5.4. Transmissivité de la nappe phréatique de N'siria oued Aïd**

### **VI. Caractéristiques physiques et chimiques de la nappe phréatique de N'siria oued Aïd**

- 6.1. Température de l'eau de la nappe phréatique de N'siria oued Aïd**
- 6.2. Caractéristiques chimiques de la nappe phréatique de N'siria oued Aïd**

### **VII. Exploitation de la nappe phréatique de N'siria oued Aïd**

### **VIII. Ressources de la nappe phréatique de N'siria oued Aïd**

### **IX. Conclusion.**

## Etude hydrogéologique de la nappe phréatique

de M'airda-Oued Aïd

### I. INTRODUCTION :

Géographiquement la plaine de M'airda-Oued Aïd est limité au Nord par la zone d'El Aouina, à l'Est par Dj. Bou Medjaa Oued el Hammam, à l'Ouest par les reliefs de Kechba et Rehib-Dj. Aïna et au Sud par Benekir Bouttaf oued el Kerdja.

Cette zone constitue une plaine alluviale, qui est traversée dans sa partie médiane par oued el Aïd qui présente deux affluents prenant naissance respectivement à partir de Dj. Berrouff (306m) et de Dj. Aïna (342m). Ces deux affluents se rassemblent vers l'aval pour former un seul oued qui trouve son émissaire au niveau de oued el Hammam (zone de Bou Attouch).

La zone de M'airda-oued el Aïd a connu ces dernières années une grande activité agricole par des nouvelles créations de puits de surface, le nombre total des puits inventoriés en 1987 se chiffre à 94 puits. La majorité de ces puits sont forés par sonde à main, les trous de sonde dépassent parfois les 50 mètres de profondeur.

Pour mieux connaître les niveaux aquifères captés dans la région on a réalisé en 1988 et 1989 trois piézomètres qui serviront par la suite à la surveillance de la nappe phréatique de la zone.

### II. HYDROLOGIE :

2.1. Caractéristiques géologiques : La plaine de M'airda-oued el Aïd est sillonnée par un principal oued nommé oued el Aïd et des petits ruisseaux descendant de Dj Aïna et du flanc septentrional de Dj Bou Medjaa.

On a pu mettre en évidence au sein de cette plaine deux petits bassins versants dont les arêtes se situent au niveau de oued el Hammam dans le lieu dit Bou Attouch.

#### 2.1.1. Bassin versant de oued el Aïd : Fig. 1

Ce bassin collecte les eaux descendantes de Dj Aïna. Ses caractéristiques physiques sont :

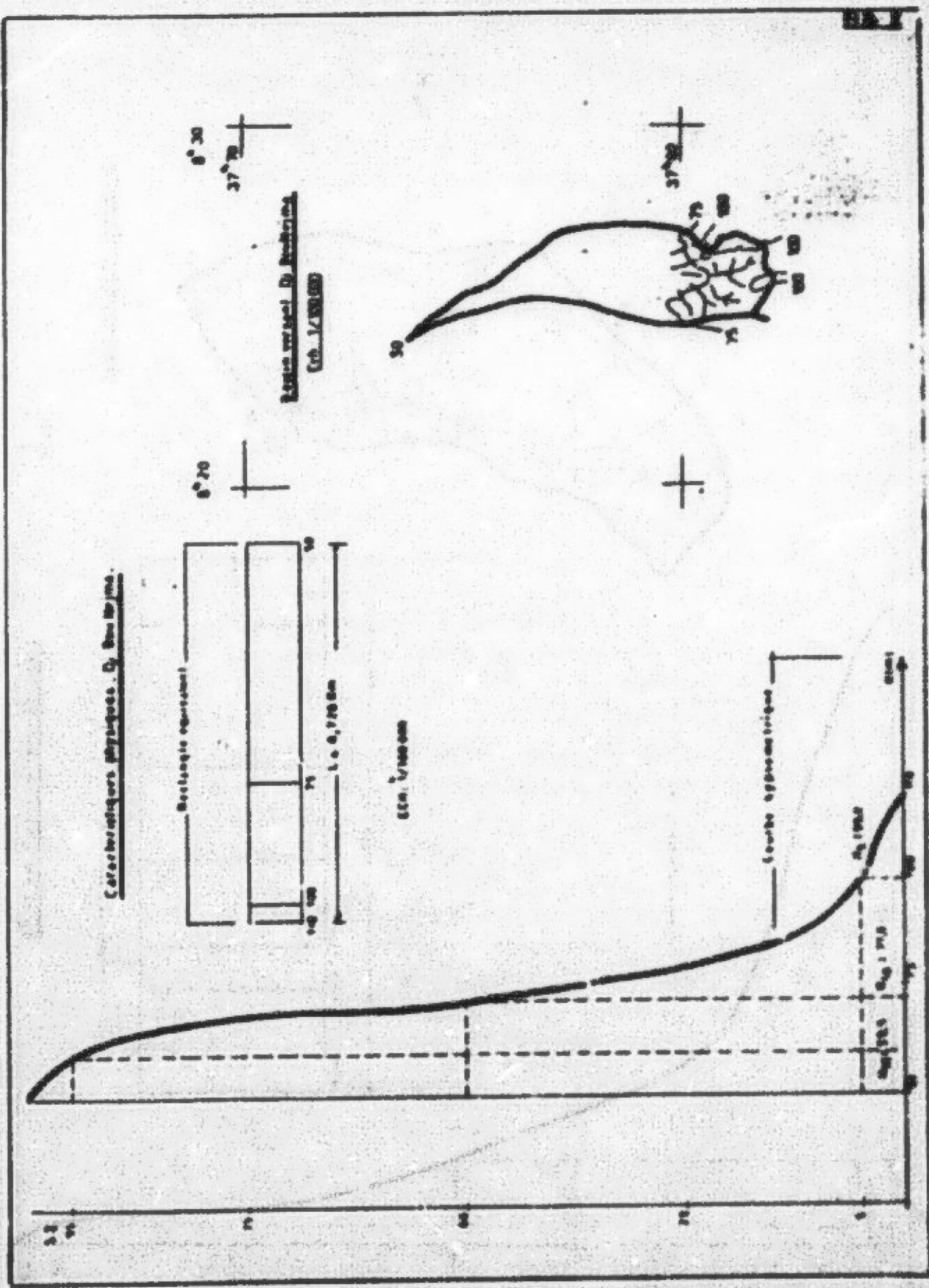


Fig. 1

Fig. 2

Fig. 3

Fig. 4

Fig. 5

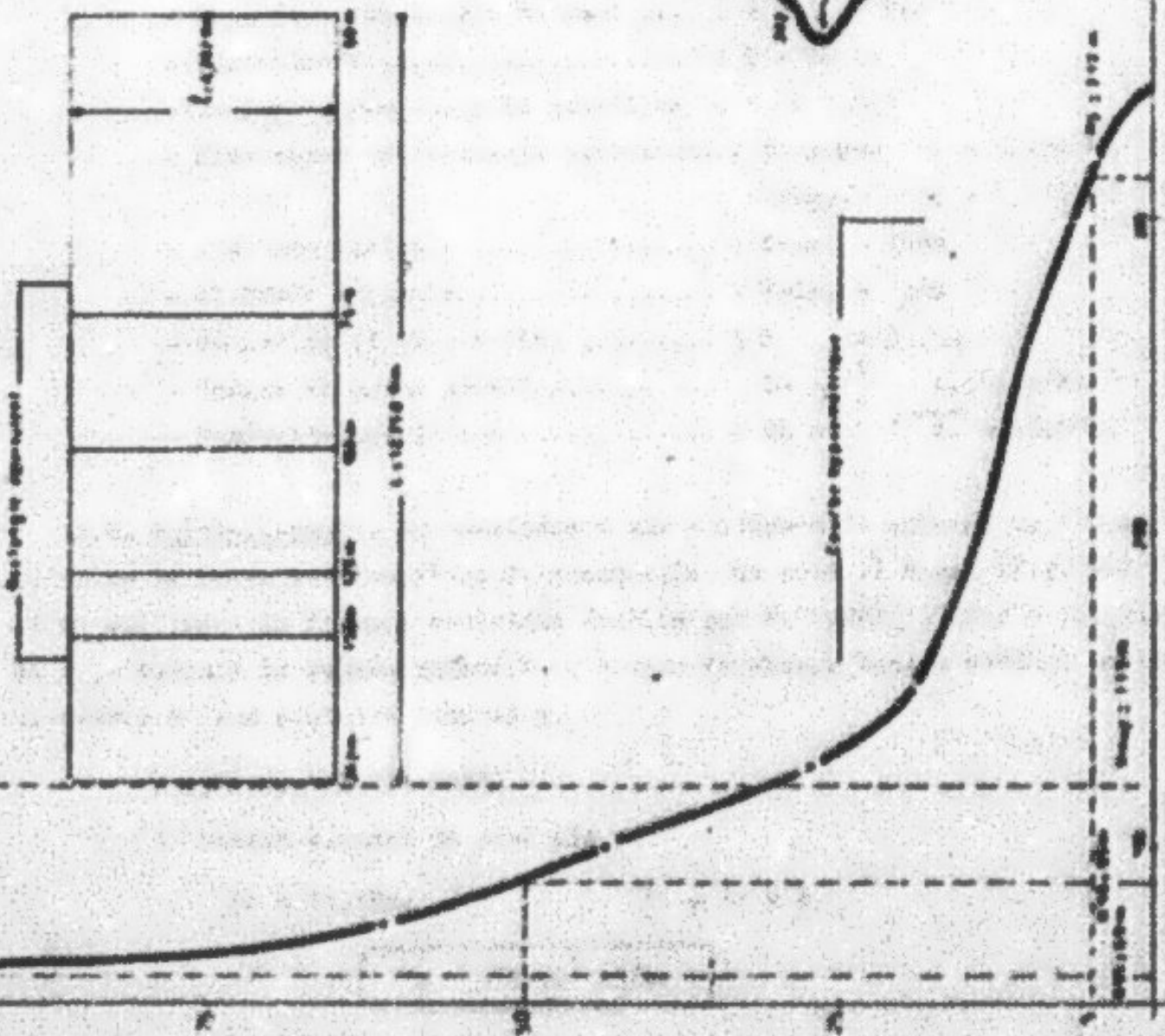
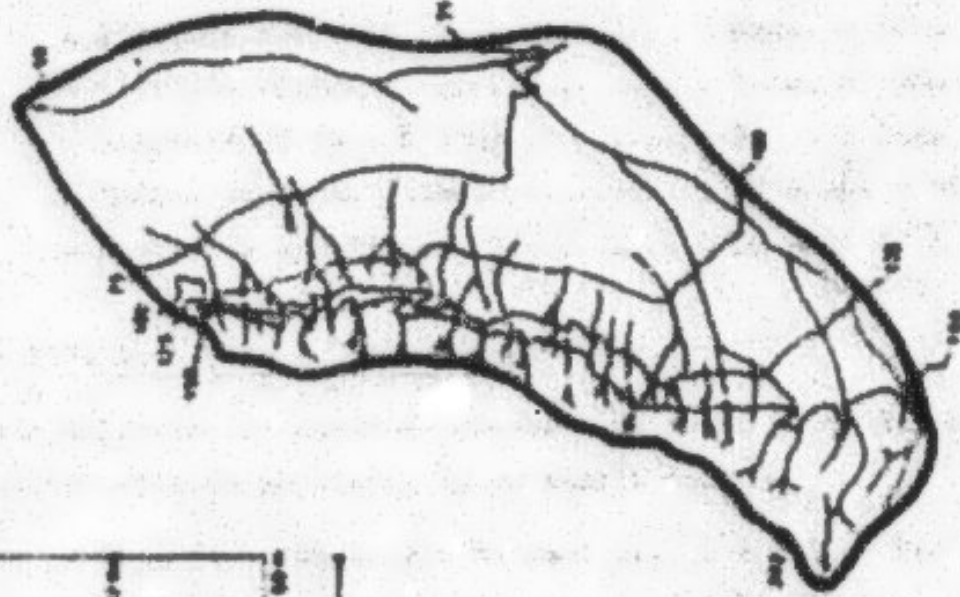


Fig. 6

- Superficie du bassin versant ... :  $A = 52 \text{ km}^2$
- Périmètre ..... :  $P = 35 \text{ km}$
- Indice de compacté de gravillons :  $K_c = 0,26 \cdot A^{-\frac{1}{2}} = 1,261$
- Dimension du rectangle équivalent : Longueur  $L = 12,258 \text{ km}$   
Largeur  $l = 4,242 \text{ km}$
- Altitude maximale ..... :  $H_{\max.} = 347 \text{ m}$
- Altitude minimale ..... :  $H_{\min.} = 50 \text{ m}$
- Dénivelé ( $H_{95\%} - H_{5\%}$ ) ..... :  $D = 294 \text{ m}$
- Indice de pente global ..... :  $IG = \frac{P}{L} = 10,721 \text{ m/km}$
- Dénivelée spécifique ..... :  $DS = IG (\sqrt{\frac{L}{D}} = 149,42 \text{ m})$

### 3.1.2. Bassin de Bou Medjou : Fig. 2

Ce bassin collecte les eaux descendant du flanc septentrional de Dj Bou Medjou. Les caractéristiques physiques de ce bassin sont :

- Superficie du bassin versant ... :  $A = 11,1 \text{ km}^2$
- Périmètre ..... :  $P = 20 \text{ km}$
- Indice de compacté de gravillons :  $K_c = 1,661$
- Dimensions du rectangle équivalent : Longueur  $L = 8,726 \text{ km}$   
Largeur  $l = 1,272 \text{ km}$
- Altitude maximale ..... :  $H_{\max.} = 115 \text{ m}$
- Altitude minimale ..... :  $H_{\min.} = 50 \text{ m}$
- Dénivelée ( $H_{95\%} - H_{5\%}$ ) ..... :  $D = 39,5 \text{ m}$
- Indice de pente global ..... :  $IG = \frac{P}{L} = 4,526 \text{ m/km}$
- Dénivelée spécifique ..... :  $DS = IG (\sqrt{\frac{L}{D}} = 15,07 \text{ m})$

3.2. Ruisseau(s) : En considérant une pluviométrie moyenne de 150 mm (d'après la carte des isohytes interannuelles de oued el Hamm (Fig. .-2) (1)) et en utilisant la formule empirique établie par M. MIRAL (1977)  $L_r = 163,9 \cdot 10^{-4} P^{1/2}$  on a pu estimer le volume ruisselé au niveau de chaque bassin versant mentionné ci-dessus à son extrémité naturel :

#### Calcul du ruissellement :

##### 1. Bassin versant de oued FED :

$$L_r = 11,19 \text{ mm}$$

$$T_r = L_r \times A$$

$$T_r = 581,10^3 \text{ m}^3/\text{an}$$

##### 2. Bassin versant de Bou Medjou :

$$L_r = 5,8 \text{ mm}$$

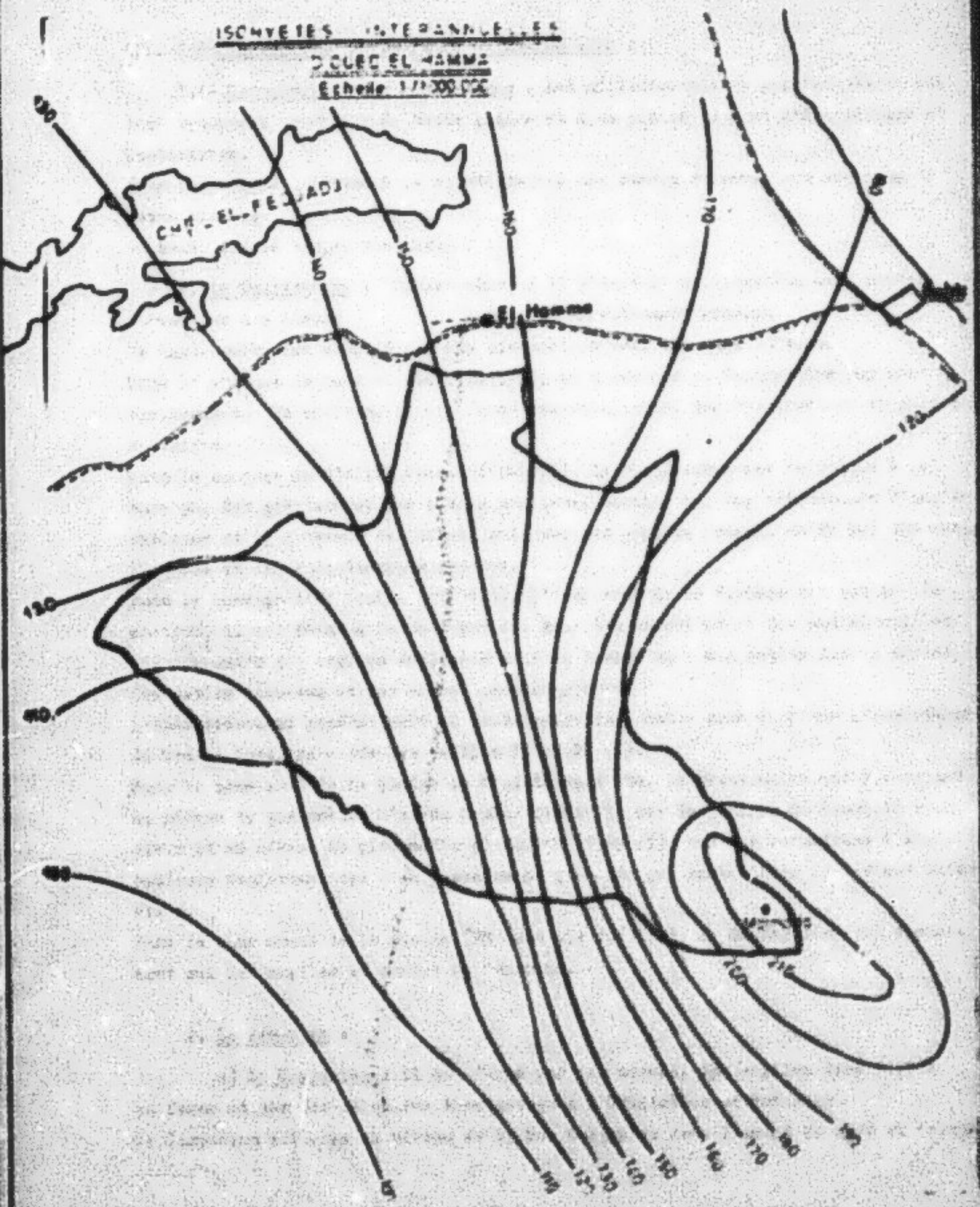
$$T_r = 30,10^3 \text{ m}^3/\text{an}$$

Le volume ruisselé global à l'issue la plaine de M'siria-oued Aïd est de 640,10 m<sup>3</sup>

ISCHYETES INTERPARALELLA

DOUCE EL HAMME

EDDING 1/1000000



### III. CARACTÉRISTIQUES GÉOLOGIQUES ET HYDROGÉOLOGIQUES

3.1. Caractéristiques géologiques : les affleurements et les formations qui sont rencontrés au niveau de cette plaine où à sa proximité sont d'âge crétacé et quaternaire.

Nous présentons brièvement la stratigraphie des étages rencontrés aux environs de cette plaine.

Du haut vers le bas, on distingue :

1. Le Quaternaire : (Pleistocene) : Il s'agit d'une formation continentale formée par des limons , sables et encroûtements gypseux.

Ce Quaternaire est recoupé par les pédomètres réalisés dans la zone.

Dans le sondage de oued el Aïa (19673/5), on a rencontré ce Quaternaire sur une épaisseur de 10m environ. Il est formé essentiellement par des graviers et galets calcaires.

Dans le sondage de N'ziria Bouhat (19660/5), le Pleistocene est constitué à la base par des graviers et des sables argileux, suivis par des alternances d'argile calcaire et de graviers calcaires, puis par des argiles rouges, enfin par des sables calcaires et des encroûtements gypseux.

Dans le sondage d'El Aouim (19690/5), l'épaisseur de ce Pleistocene est de 6m environ. Il est formé à la base par des graviers calcaires et des sables argileux, vient ensuite des argiles calcaires puis au dessus on a des sables fins à moyens, des sables limoneux et des encroûtements gypseux.

L'épaisseur considérable du Quaternaire dans cette zone confirme l'importance du Graben localisé entre les failles P2 et P1 (2).

Dans la zone ouest de la plaine de N'ziria oued Aïa, le Quaternaire est discordant au niveau du pédomètre N'ziria Bouhat (19660/5) sur les marbes du Sénonien supérieur et au niveau du pédomètre El Aouim (19690/5), sur des formations d'argile calcaire renfermant des fins poudingues de grès fin qui semble être du Crétacé inférieur.

Dans la zone ouest de la plaine (P1 oued Aïa 19673/5), ce Quaternaire est discordant sur les argiles et marbes du Sénonien.

#### 2. Le Crétacé :

a) Le Sénonien : Il est formé par des marbes, des argiles très riches en silex et par des calcaires bioclastiques à Orbitolites et Radiolites.

Ce Companion affleure au niveau de Dj Dab Begja et dans l'oued de oued el Kerdja

est

Ce complexe/recouvert par forage dans la Nefzaoua et dans les forages de la zone cotière (5). Il est recouvert par le piémontais aussi Aïd jusqu'à 101m sur une épaisseur partielle de 90m. Cette formation/épaisseur le cœur du synclinal aussi Aïd, elle est constituée de (-10 à -70m) par des alternances d'argiles et de marnes riches en fossiles (lamelles) puis de 70 à 76 par des calcaires tendres crayeux, ensuite par des alternances de marnes et de calcaire (fig. 13 , Annex) Ce complexe a subi une érosion post-crétacé, c'est ce qui explique son absence au Sud de la plaine de N'zizia aussi Aïd et la présence en affleurement du faciès Coniacien Santonian.

b) Coniacien - Santonian :

1.) Unité calcaire : elle est représentée en affleurement par des calcaires bioclastiques à bivalves par des brèches, des marnes et des calcaires. Elle affleure sur la chaîne du Tébaga (limite ouest de la plaine de N'sirha), sur les monts des Matmata, et à proximité de Dj Ballouga. Elle est recoupée par les forages d'El Hammam (au niveau du karst d'El Hammam dans les zones de Deldika el Mahdiya, el Kett, aussi Hammam (7) et par les forages de Oglet Martaba sur une épaisseur de 100m environ quand elle est préservée à l'érosion (1).

2.) Unité marno-gypseuse : c'est une formation marno-argileuse gypsiifère avec des intercalations d'argile noire et de calcaire marneux. Cette unité est recoupée par les forages Soubat (16682/5), et d'El Hammam N'sirha 1bis (16193/5). L'épaisseur de cette formation est respectivement de 216 et de 317m. Dans le piémontais de N'sirha Soubat (19662/5), cette unité est rencontrée à partir de 72m sur une épaisseur partielle de 30m environ. L'importante épaisseur de cette formation traduit une subsidence active dans cette zone de N'sirha aussi Aïd pendant cette époque.

3. Le Tébaga : il forme la corniche de la chaîne du Tébaga bordant à l'Ouest la plaine de N'sirha, il est constitué essentiellement par des calcaires dolomitiques. L'épaisseur de cette étagé atteint 80 à 100m à Peine el Asphar sur le Tébaga, 110m au Bouzif. Cette épaisseur se réduit à 30 - 50m quand on s'approche de Kechbia et Radaït (1). Au niveau de Dj Ben Hadjim le banc dolomitique du Tébaga apparaît au cœur de l'anticlinal à l'exception de deux accidents tectoniques, le premier à l'Est avec les calcaires du Barrémien et à l'Ouest avec les calcaires et marnes du Coniacien.

4. Le Cénomanien : Sur la chaîne du Tébaga, le Cénomanien se distingue par trois épisodes de sédimentation (1) :

- a) série calcaire-dolomitique,
- b) série marno-gypseuse,
- c) série calcaire,

L'épaisseur de ce Cénomanien est de 400 mètres à Toun el Massane, de 405 mètres à Toun el Aouab, 350 mètres à Kerakril. Cette épaisseur se réduit vers l'Est à partir de Kerakril en s'approchant d'el Hamm, elle atteint à Dj Attia 78 mètres. À ce niveau le Cénomanien disparaît en blocs entre l'Albo-aptien et le Turonien(2). La cause de ce biseautage est attribuée à une élévation du plancher sédimentaire à l'Est dans la région d'el Hamm (anci. d'el Hamm) (BOGAZIE, 1966). Au niveau de Dj Hallougu-Degouha, le Cénomanien affleure dans des conditions perturbées par la tectonique où n'affleure que partiellement d'où l'impossibilité de déterminer son épaisseur réelle (1).

5. L'Albo-aptien : Cet étage correspond à une formation transgressive marine, constituée à la base par une dolomie massive renfermant une faune abondante d'Ornitholites et de quelques radiolaires et au sommet par une série détritique à stratification oblique qui se poursuit avec des calcaires passant à des grès fins argileux et se termine par des marnes en proportion variable, vient ensuite une série gréseuse à bois fossiles nette et constante le long du Tébaga puis deux niveaux dolomitiques rouges.

6. Le Crétacé inférieur : Affleur dans la région de chott el Fadjej à proximité de la plaine de M'sirda sud Aïd. Il est constitué par des formations détritiques continentales argilo-gréseuses et sablonneuses. L'épaisseur totale de ce Crétacé inférieur est reconnue par les forages CPI et CP2 ; elle est respectivement de 1197 et 1375m.

Ce Crétacé inférieur semble être recoupé par le piézomètre d'el Aouina (1969/3) sur une épaisseur partielle de 25m. Il est constitué par des marnes et d'argiles sablonneuses et par des niveaux de grès fin jaunâtre.

3.2. Carréfractismes tectoniques : La plaine de N'sirha-oued Aïd est jalonnée par trois principales failles :

1. Faillle F1 : Elle isole la terminaison orientale de la chaîne de Tébaga du graben d'el Hammam. Elle est amorcée près de oued el Aïd, brise le flanc oriental en passant de Kechem er Rebib à Aïn el Aouina (1). D'après les données du piézomètre réalisé dans cette zone, le rejet de cette faille est de 70m environ.

2. Faillles F2 et F4 : De direction NW-SE et d'un rejet de 500 à 700m. Ces deux accidents limitent le horst du Crétacé inférieur qui apparaît sur le flanc oriental de Dj Bou Medjane. La faille F4 jalonne le lit de oued el Hammam, elle est à l'origine de l'émergence des sources dans cet oued.

#### IV. CORRELATIONS A TRAVERS LA PLAINE DE N'LIRIA-OUED AÏD :

4.1. Coupe Di Aniza - Dj Bou Medjane : fig. 3. : de direction N-E, passant par le piézomètre de oued el Aïd (19673/5), elle montre la structure synclinale au niveau de cette plaine. Le cœur de ce synclinal est occupé par les marnes, argiles et calcaire bioclastiques à orbitoides et bivalves du Campanien. Elle montre également la structure en horst de Dj Bou Medjane où le Crétacé inférieur affleure sous l'effet d'une tectonique cassante par l'intervention des failles F2 et F4.

4.2. Corrélation El Kebat - Souhat : Fig. 4. : De direction N-E, passant par le forage CPibis (19190/5) et par les piézomètres el Aouina et Souhat (19698/5 et 19660/5), elle montre l'importance du remplissage Plastocène disconformément sur les formations détritiques continentales du Crétacé inférieur et sur les formations de marnes et marno-calcaires du Crétacé supérieur. Le piézomètre el Aouina confirme le rejet de la faille F1 qui semble être de l'ordre de 70m dans cette zone.

#### V. CARACTÉRISTIQUES HYDROGEOLOGIQUES :

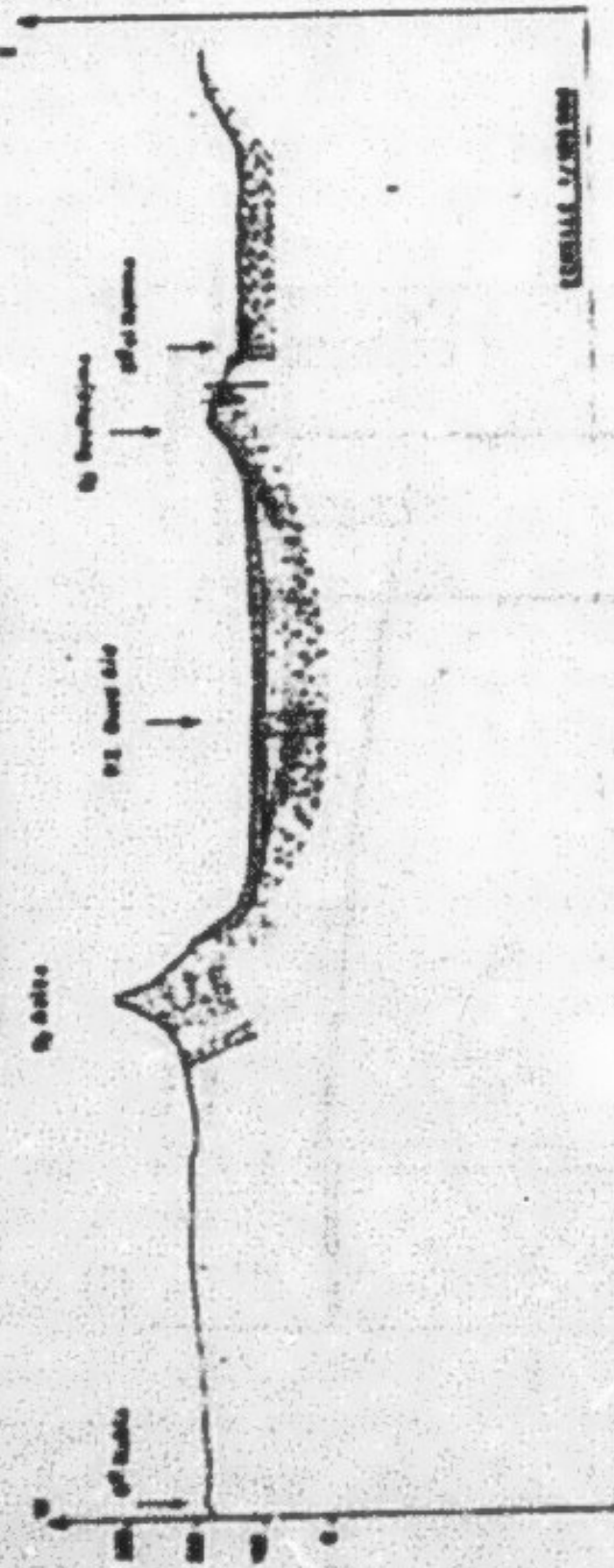
5.1. Les formations aquifères : Dans la région de N'sirha-oued el Aïd, trois piézomètres ont été réalisés :

- Piézomètre de N'sirha Souhat : 19660/5
- Piézomètre el Aouina : 19698/5
- Piézomètre oued el Aïd : 19673/5

FIGURE

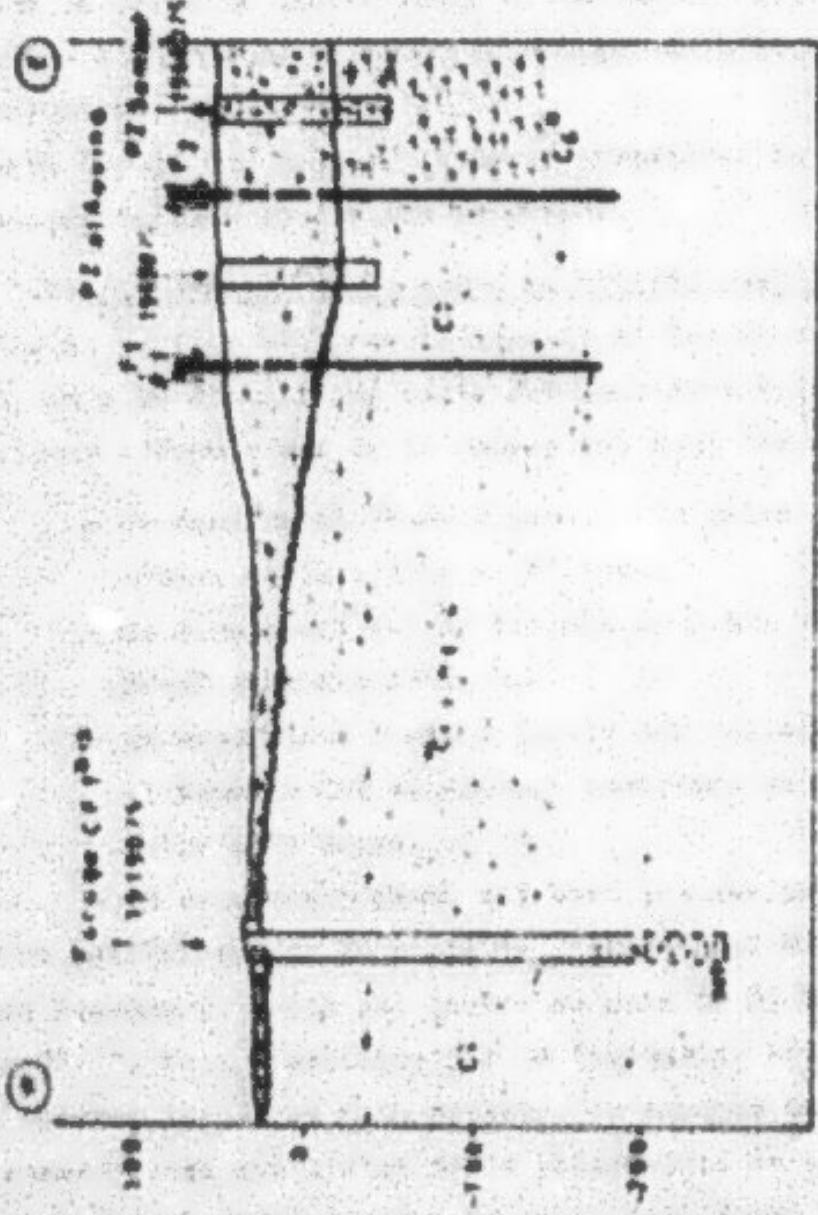
FIGURE

COUNT OF ANNUAL DEATHS IN U.S.



- FIGURE  
DEATHS FROM DISEASES AND ACCIDENTS IN U.S. BY CAUSE
- (a) Deaths from diseases and accidents in U.S. by cause
  - (b) Deaths from diseases and accidents in U.S. by cause
  - (c) Deaths from diseases and accidents in U.S. by cause
  - (d) Deaths from diseases and accidents in U.S. by cause
  - (e) Deaths from diseases and accidents in U.S. by cause
  - (f) Deaths from diseases and accidents in U.S. by cause
  - (g) Deaths from diseases and accidents in U.S. by cause
  - (h) Deaths from diseases and accidents in U.S. by cause
  - (i) Deaths from diseases and accidents in U.S. by cause
  - (j) Deaths from diseases and accidents in U.S. by cause
  - (k) Deaths from diseases and accidents in U.S. by cause
  - (l) Deaths from diseases and accidents in U.S. by cause
  - (m) Deaths from diseases and accidents in U.S. by cause
  - (n) Deaths from diseases and accidents in U.S. by cause
  - (o) Deaths from diseases and accidents in U.S. by cause
  - (p) Deaths from diseases and accidents in U.S. by cause
  - (q) Deaths from diseases and accidents in U.S. by cause
  - (r) Deaths from diseases and accidents in U.S. by cause
  - (s) Deaths from diseases and accidents in U.S. by cause
  - (t) Deaths from diseases and accidents in U.S. by cause
  - (u) Deaths from diseases and accidents in U.S. by cause
  - (v) Deaths from diseases and accidents in U.S. by cause
  - (w) Deaths from diseases and accidents in U.S. by cause
  - (x) Deaths from diseases and accidents in U.S. by cause
  - (y) Deaths from diseases and accidents in U.S. by cause
  - (z) Deaths from diseases and accidents in U.S. by cause

COORDINATES ET NIVEAU - ZONNE



Echelle 1:100000

1:100000

Cravate inférieure - Pochette poitrine  
Cravate supérieure - Pochette poitrine  
Cravate inférieure - Pochette poitrine  
Cravate supérieure - Pochette poitrine  
Cravate inférieure - Pochette poitrine  
Cravate supérieure - Pochette poitrine  
Cravate inférieure - Pochette poitrine  
Cravate supérieure - Pochette poitrine

Les deux premiers piézomètres ont montré qu'il existe dans le remplissage Quaternaire au moins deux niveaux aquifères :

Le premier niveau se trouvent entre 20 et 25m et le second se situe à une profondeur de 35 à 40m. Ces deux niveaux sont constitués par des formations détritiques sablonneuses et sont séparés par un imperméable constitué d'argiles plastiques. Dans le piézomètre du M'Ziria Soubat (19660/5), le carottage électrique a montré la présence d'un autre niveau aquifère entre les côtes 57 et 63m logé dans une formation constituée d'argile sablonneuse, de sables argileux et de gravier calcaire. Dans le piézomètre de oued el Aïd (19673/5), on a détecté la présence de deux niveaux aquifères qui sont logés dans une formation du Crétacé supérieur. Le premier niveau se situe entre 19 et 27m dans des argiles sablonneuses et le second entre 70 et 76m dans le calcaire tendre blanc du Campanien. (eau salée ; RS = 11,360g/l). Ce piézomètre limite donc la nappe phréatique de M'Ziria localisée dans le remplissage Quaternaire.

De côté Nord de Dj. Ben Medjane, la nappe phréatique est en communication directe avec la nappe profonde du Crétacé inférieur.

5.2. Pématométrie de la nappe de M'Ziria oued El Aïd : En utilisant les données de 26 points de surface (tableau 1, annexes) et des deux piézomètres réalisés dans la région, on a pu établir une carte des isopéries (planche 1, annexes) qui montre les directions d'écoulement de la nappe qui sont les suivantes :

- un écoulement SW-NE à partir des reliefs de Dj Ben Medjane, vers le centre de la plaine de M'Ziria.
- un écoulement W-E de Kechou er Rebib vers Soubat puis devient SE-NO vers Ben Attouch.
- un écoulement NW-SE à partir des reliefs de Ben Medjane vers ouest el Hammam - Cet écoulement contribue en effet à l'alimentation de la nappe d'El Hammam.
- un écoulement SW-NE qui suit les ravines descendant de Dj Aïcha.

Le gradient hydrologique de la nappe de M'Ziria oued El Aïd est de l'ordre de 3°/‰ du côté de Kechou er Rebib par contre du côté de Dj Ben Medjane, ce gradient varie entre 5 à 7°/‰. Ceci s'explique par la diminution progressive et anormale de l'épaisseur des couches isopériques - La présence de sources dans la zone d'El Hammam (ouest oued el Hammam) ainsi que l'état de la pématométrie de la nappe en est indirectement confirmé par la structure hydrogéologique du oued d'El Hammam (faille  $\text{N}^{\circ} 1$ )<sup>1/2</sup> et le rôle du Barrage naturel par la mise en contact des couches de perméabilités différentes. (Crétacé inférieur - Quaternaire).

### 5.3. Alimentation de la nappe phréatique de M'Ziria oued el Aïd :

L'alimentation de cette nappe mobile s'effectue de deux manières :

- une alimentation à partir de l'infiltration des eaux de pluies et des eaux de ruissellement à partir de Dj Aïcha et de Dj Ben Medjane.
- une alimentation profonde du côté de Dj Ben Medjane et de Kechou er Rebib par déversement de l'eau de la nappe du Continental Indien - autre fois la couche intermédiaire de la plaine de M'Ziria.

Cette alimentation est rendue possible à l'aide des failles qui affectent cette zone.

3.4. Transmissivité de la nappe phréatique de N'Zirka oued Aïd : L'interprétation des courbes d'abaissement et de remontée du niveau piémontrique de quelques puits de surface de la région a permis de dégager des valeurs de transmissivité des formations aquifères dans lesquelles se loge la nappe phréatique de N'Zirka oued Aïd:

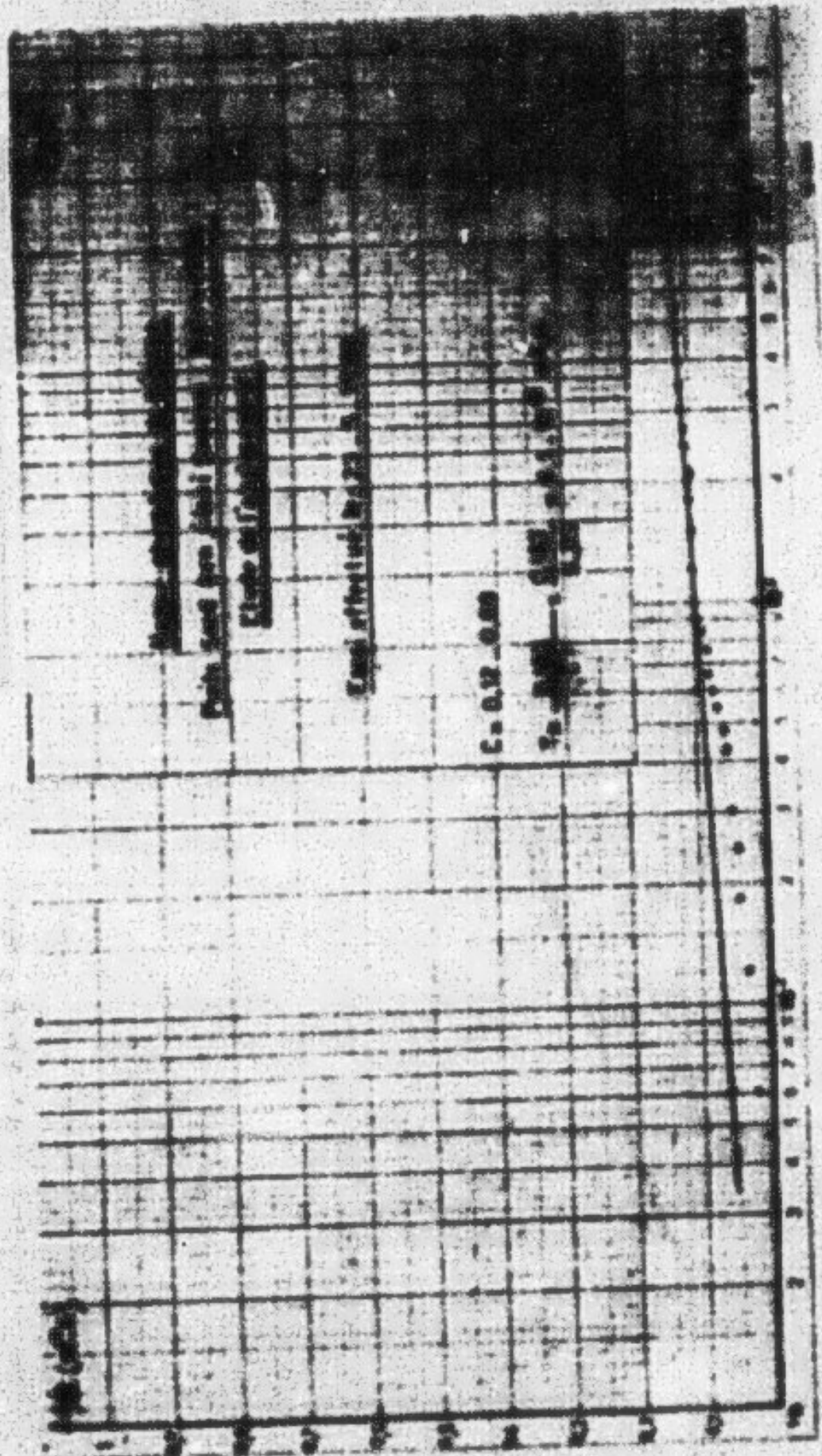
Tableau 3 : Valeurs de transmissivité de la nappe phréatique  
N'Zirka oued Aïd

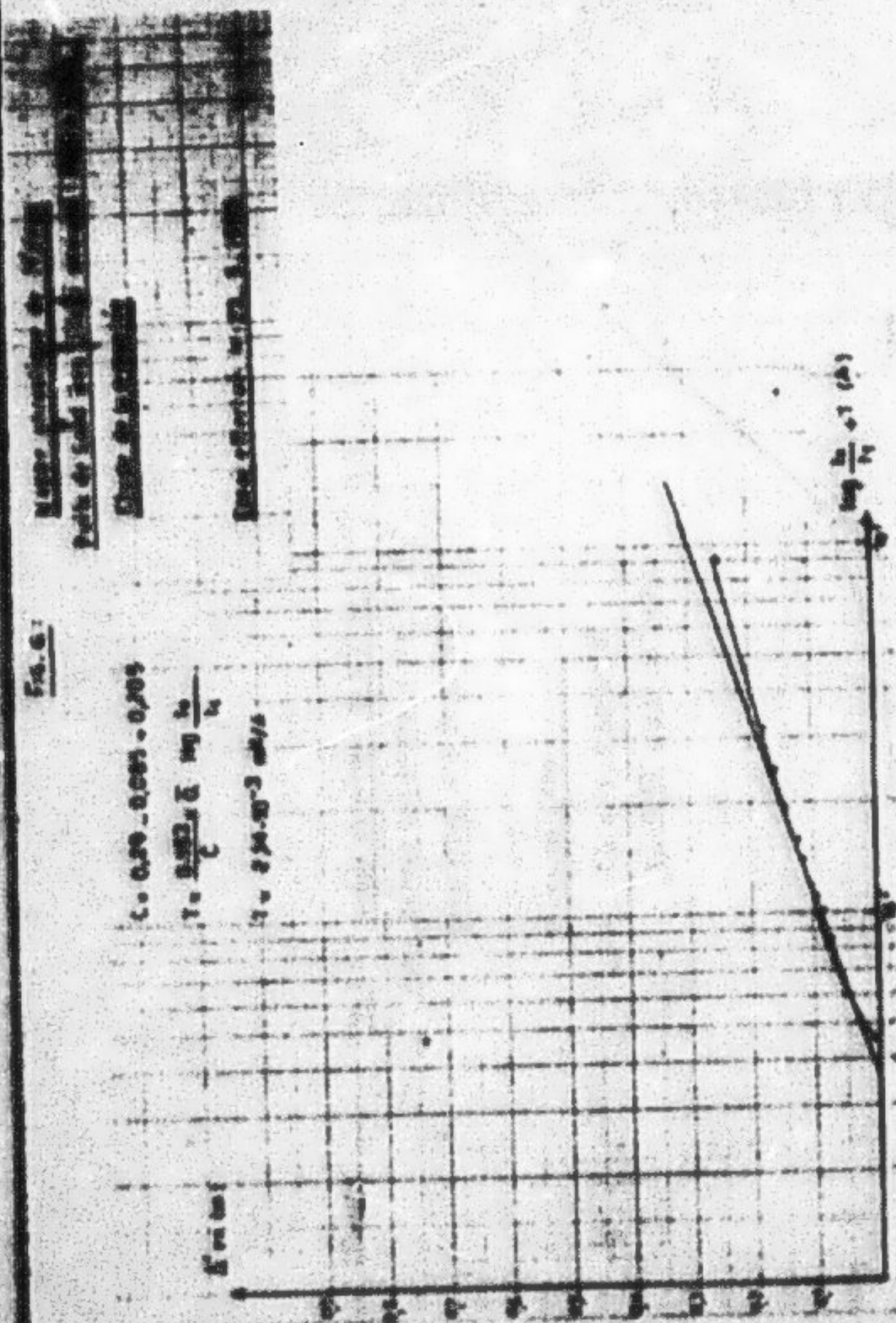
Puits de surface avec N° d'ordre	Transmissivité Abaissement	Transmissivité remontée	Observations
Band Ben Jilani Bouassi	$T = 6,3 \cdot 10^{-3} \text{ m}^2/\text{s}$	$T = 2,14 \cdot 10^{-3} \text{ m}^2/\text{s}$	Non inventorié Fig.5-Fig.6
Bhacou Ben Ahmed Marizi 1142	$T = 1,27 \cdot 10^{-3} \text{ m}^2/\text{s}$	$T = 4,2 \cdot 10^{-3} \text{ m}^2/\text{s}$	Fig.7 - Fig. 8
Baddaji Makteuf Ben Ali Mekki, 1139	$T = 3,66 \cdot 10^{-3} \text{ m}^2/\text{s}$	$T = 0,4 \cdot 10^{-3} \text{ m}^2/\text{s}$	Fig.9 - Fig.10

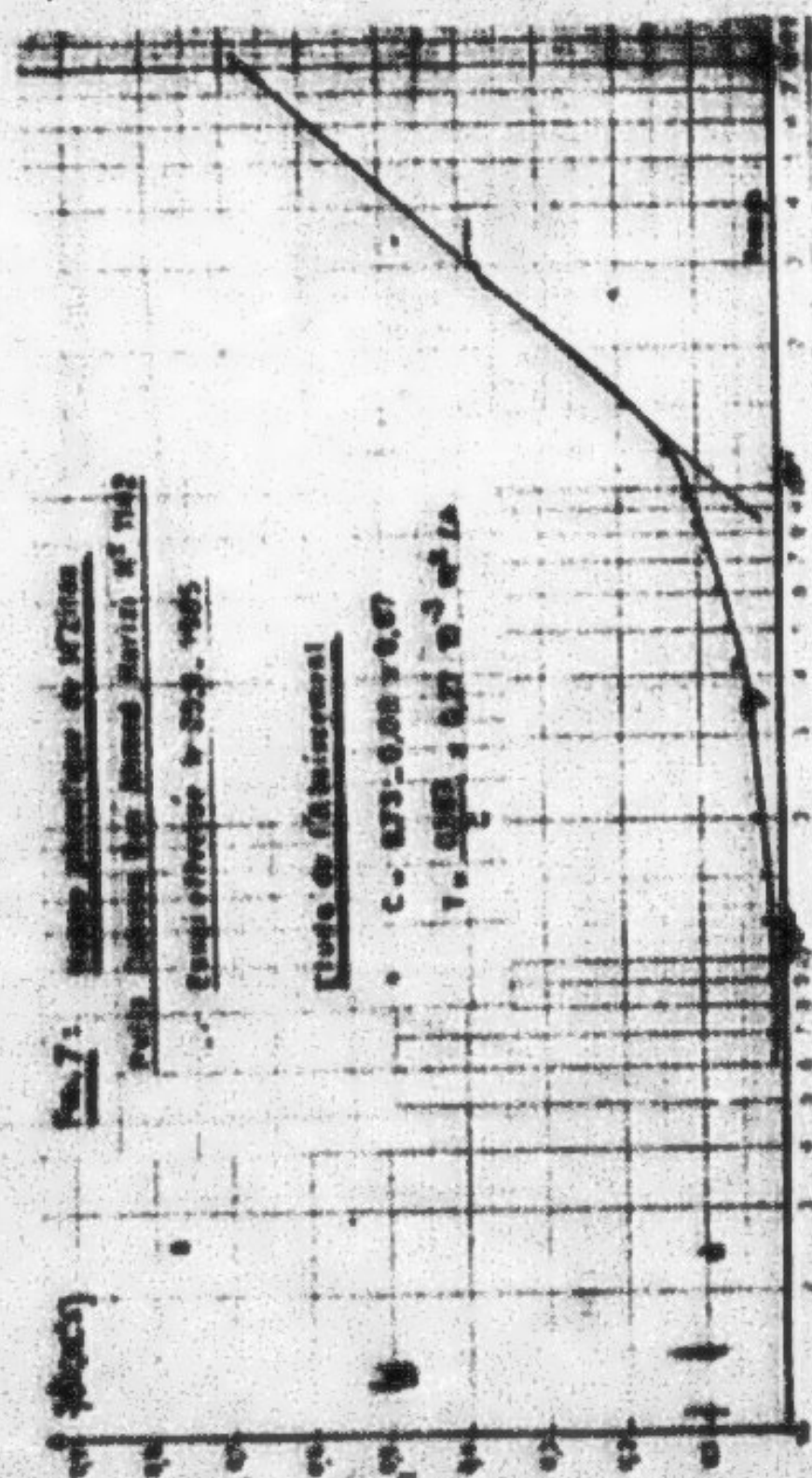
On constate d'après les données mentionnées ci-dessus que les valeurs de transmissivité de l'aquifère de N'Zirka oued el Aïd oscillent entre  $0,3$  et  $4 \cdot 10^{-3} \text{ m}^2/\text{s}$  et entre  $4$  et  $8 \cdot 10^{-3} \text{ m}^2/\text{s}$ . Ceci indique que les formations sableuses et graveleuses du Quaternaire présentent une assez bonne percolabilité.

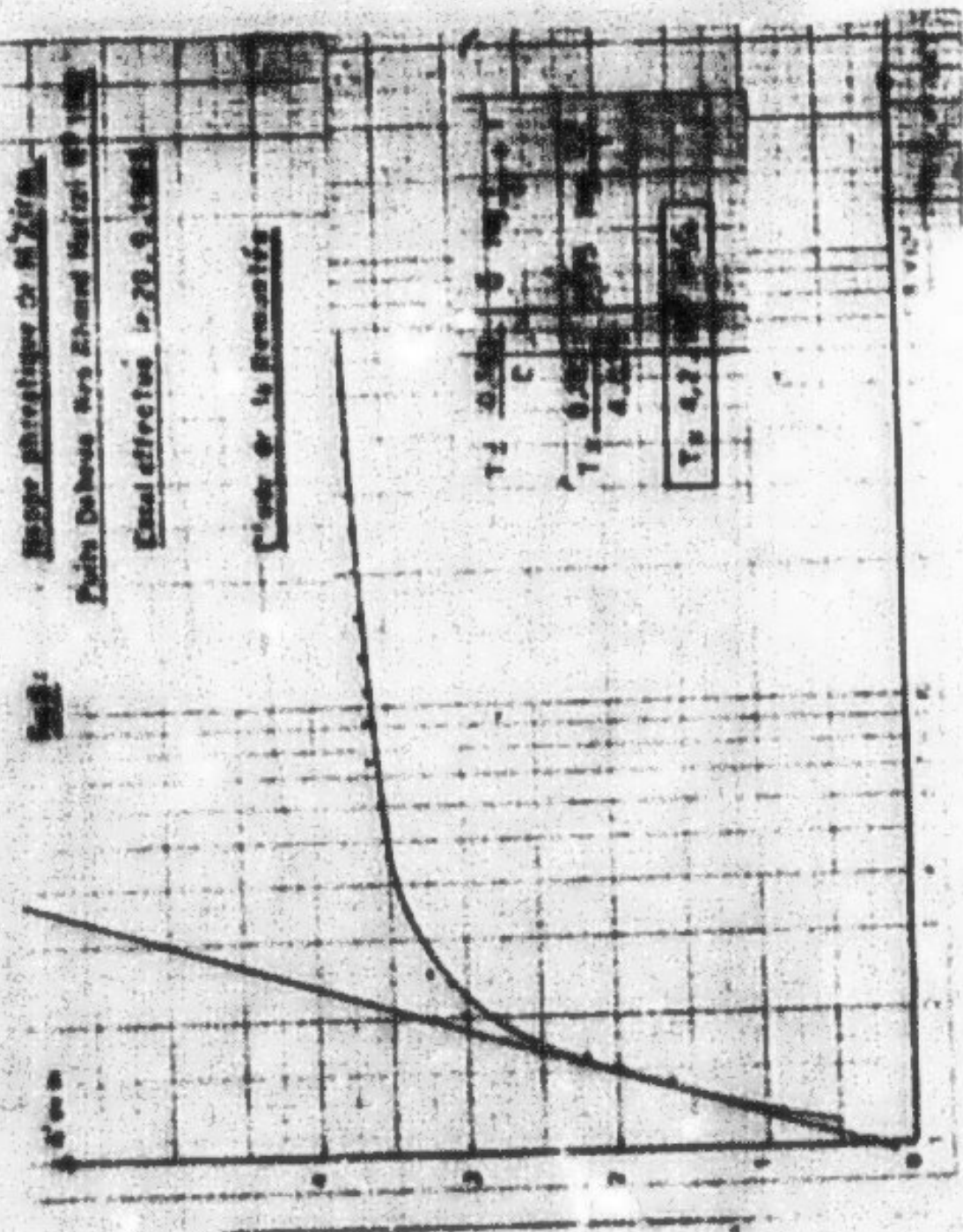
## VI. CARACTÉRISTIQUES PHYSIQUES ET CHIMIQUES DE LA NAPPE PHRÉATIQUE DE N'ZIRKA OUED AÏD :

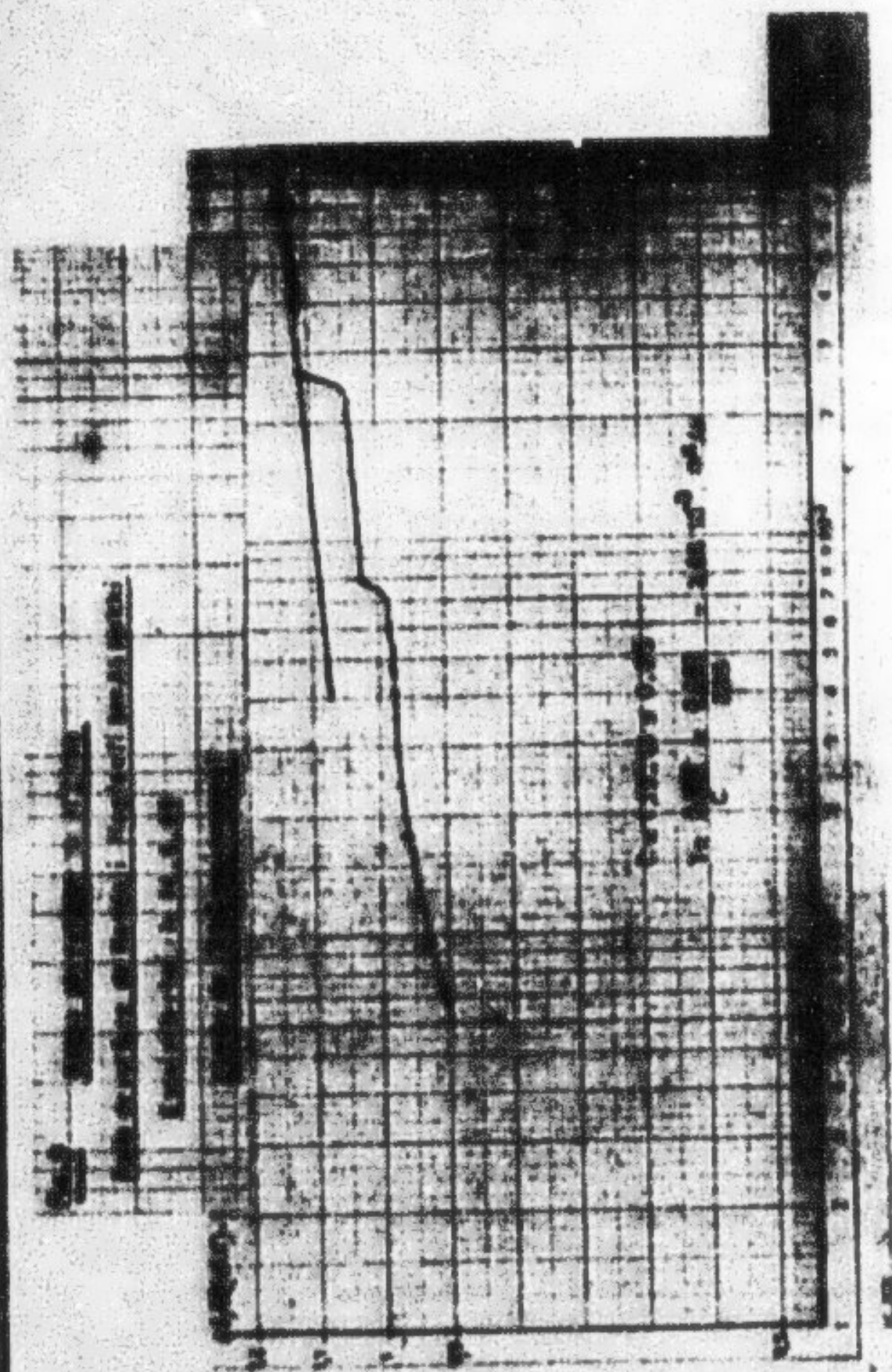
6.1. Les températures de l'eau des puits de surface dans la région de N'Zirka oued Aïd se répartissent comme suit :











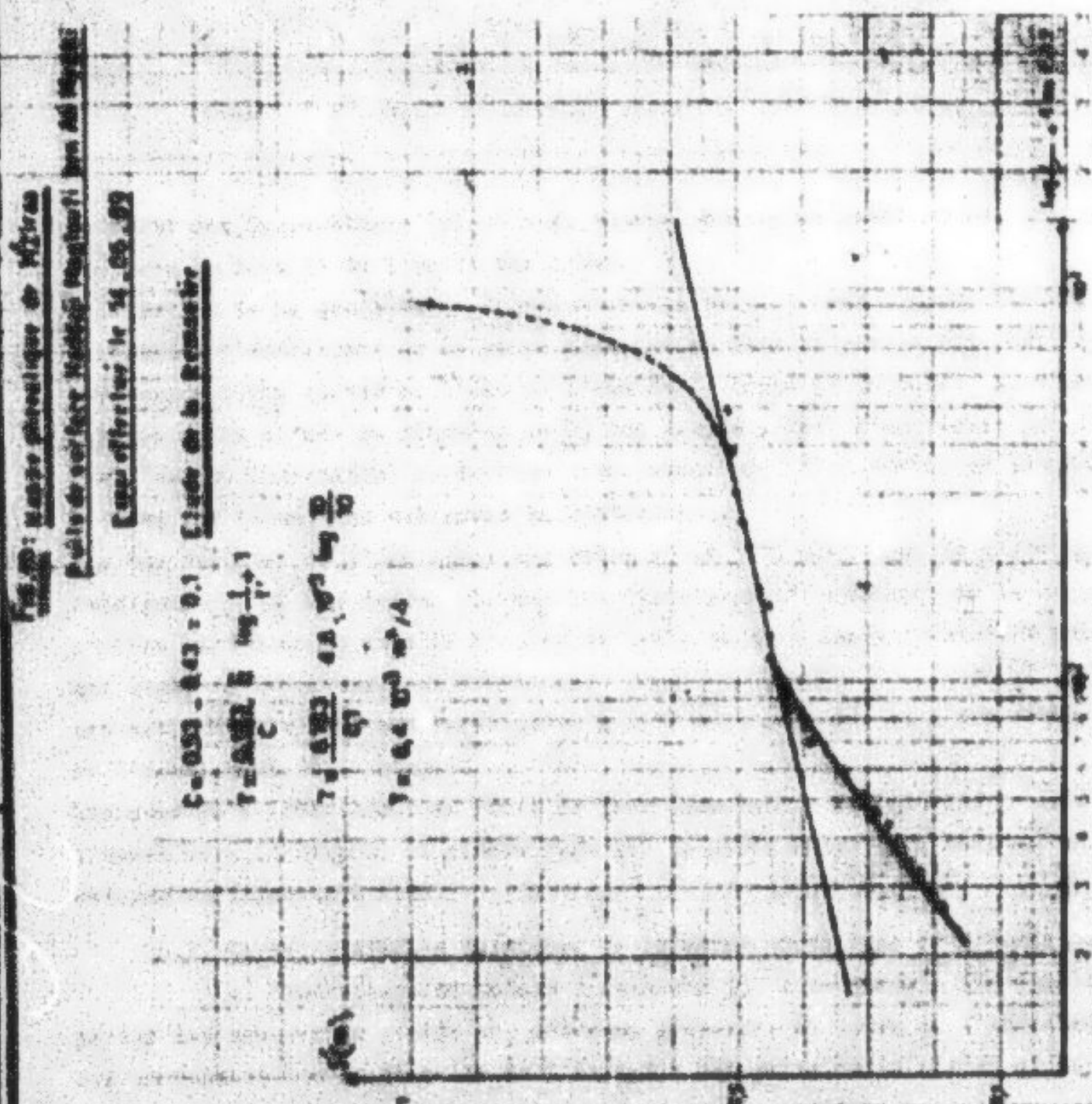


Tableau 3 : Températures de l'eau des puits de N'zirka-Oued Aïd

Baïtre des puits de surface	Température de l'eau
56	20 < T < 25°C
32	25 < T < 29°C
16	25 < T < 30°C
6	> 30°C
<b>TOTAL = 60</b>	

La carte des températures (planche 2, annexe) montre un gradient qui diminue du Sud vers le Nord et de l'Ouest vers l'Est.

L'évolution de ce gradient de température est parfaitement concordante avec les directions d'écoulement de la nappe mentionnées dans la partie géométrique. Les températures élevées de l'eau de l'eau de la nappe ( $T > 30^\circ\text{C}$ ), sont mesurées sur les puits situés au piedmont de Dj Bou Medjane. Ceci s'explique par le fait que l'eau du Continental se déverse directement par l'Intermédiaire des failles F2, F4 dans les formations sablonneuses du Quaternaire..

Les températures de l'eau comprises entre 25 et 30°C sont mesurées d'une part en éloignant de Dj Bou Medjane suivant les directions d'écoulement de la nappe et d'autre part dans la zone de Krichen er Rebib où on a une alimentation profonde qui semble s'effectuer par drainage.

Les températures de l'eau inférieures à 25°C sont mesurées dans les zones évasées d'écoulement de la nappe .

Les eaux se refroidissent au cours de leur cheminement du Sud vers le Nord et de l'Ouest vers l'Est pour atteindre dans les zones de Boubat Bou Attouch des températures inférieures à 25°C

#### 6.2. Caractéristiques minérales de la nappe artificielle de N'zirka-Oued Aïd

a) Minéralisation totale : (planche 3) : La carte a été établie à partir des mesures du résidu sec des eaux prélevées au cours de l'inventaire 1967 sur un échantillon de 46 puits de l'ensemble des puits de la région et sur les données des deux piézomètres réalisés. Cette carte qui fait apparaître les zones d'alimentation de la nappe montre une parfaite concordance avec la carte des isopéluses. Les zones des plus faibles valeurs de salinité correspondent aux zones d'alimentation de la nappe à partir du piedmont Nord de Dj Bou Medjane, Sidi Abdennour et de la zone de Krichen er Rebib-Boubat. Les zones à fortes valeurs de salinité ( $\text{NS} > 4 \text{ g/l}$ ) correspondent d'une part aux zones évasées d'écoulement de la

nappe et d'autre part aux zones situées à l'ouest de midi Abdesseur, sud ouest de Soubat et aux zones périphériques de oued el Kenna.

La répartition de la minéralisation totale en fonction du nombre de puits de surface (tableau 4) montre que 72% des puits ont une minéralisation totale inférieure à 6g/l. Parmi ces derniers 19% ont une salinité inférieure à 3,5 g/l. Ces puits se situent essentiellement au niveau des zones d'alimentation précédemment mentionnées .

Tableau 4 : Répartition de la salinité en fonction du nombre de puits dans la nappe de M'Zirda-oued Aïd

R.S. en g/l	Nombre de puits	Pourcentage
3,5	16	19%
3,5 < R.S. < 4	19	23%
4 < R.S. < 6	25	30%
R.S. > 6	23*	28%
<b>TOTAL</b>	<b>83</b>	<b>100%</b>

La minéralisation totale de l'eau de la nappe phréatique de M'Zirda oued Aïd se répartie également en fonction des profondeurs des trous de sondage Tableau 5.

PT trou de sondage en m	Nombre de puits	Minéralisation totale en g/l	Pourcentage
PT < à 30m	15	3,5 < RS < 6	24%
PT > à 30m	47	3,5 < RS < 5	76%
<b>TOTAL</b>	<b>62</b>		<b>100%</b>

24% des puits de surface forés par sondes jusqu'à une profondeur inférieure à 30m présentent une salinité qui est de l'ordre de 3,5 à 6g/l. Ces puits captent les niveaux lenticulaires sableux situés entre 20 et 25m. La salinité élevée de certains puits s'explique par le fait que ces puits ne présentent pas une étanchéité parfaite entre le niveau aquifère à moins de 10m de profondeur et qui présente une salinité excessive (eau de drainage) et les niveaux lenticulaires mentionnés.

\* Nombre total des puits forés par sondes et des puits ordinaires.

.../...

70% des puits de surface qui ont des trous de sondage supérieurs à 30m présentent une salinité qui varie entre 3,5 et 5g/l., ces puits captent des nivelles aquifères situées entre 30 et 60m nettoyées à la nappe du Crétacé inférieur.

b) Composition chimique : La représentation sur diagramme logarithmique des analyses des puits d'eau des zones amont, milieu et aval montre qu'il y a le même fluide chimique, celui de l'eau sulfatée chlorure sodique fig.11 mais dont les teneurs en chlorures et sulfates diffèrent entre l'amont et laval. Le dédoublement des sulfates, chlorures et sodium à l'aval de la nappe semble être en liaison directe avec le faible écoulement qui favorise un temps de contact assez long entre l'eau et la roche. Il se produit un lessivage des minéraux argileux et une dissolution des sels minéraux. Dans la partie amont l'écoulement de la nappe est constitué par une eau qui passe directement, à l'occasion des failles, de la nappe du continental intercalaire dans le remplissage plio-Quaternaire. Plus en aval, l'écoulement de la nappe phréatique se fait à faible profondeur favorisant ainsi l'effet de l'évaporation qui contribue à accumuler les sels de l'eau dans la couche supérieure du sol. La réinfiltration après dissolution de ces sels contribue à augmenter les concentrations en  $\text{Na}^+$ ,  $\text{Cl}^-$  et  $\text{SO}_4^{2-}$ .

### VII. EXPLOITATION DE LA NAPPE PHRÉATIQUE DU N'ZIRAL SUR-ARID :

D'après l'inventaire réalisé en 1967, le nombre total des puits de surface captant cette nappe s'élève à 94 puits dont 63 puits (67%) sont équipés par des moteurs Diesel, essence et électriques, 17 puits (18%), étaient non équipés et 14 puits (15%) aboutissaient en eau.

L'exploitation de ces puits est estimée à 401/s. Ce débit provient essentiellement de la nappe profonde du Continental intercalaire qui alimente les formations sablonneuses et gréseuses du Quaternaire. L'exploitation par les puits de surface produisant une température supérieure à 25°C est de 151/s, ce débit représente 38% de l'exploitation globale. Il est pratiqué essentiellement dans les zones amont de la nappe.

### VIII. HAUTEUR DE EAU DE LA NAPPE PHRÉATIQUE DU N'ZIRAL SUR-ARID :

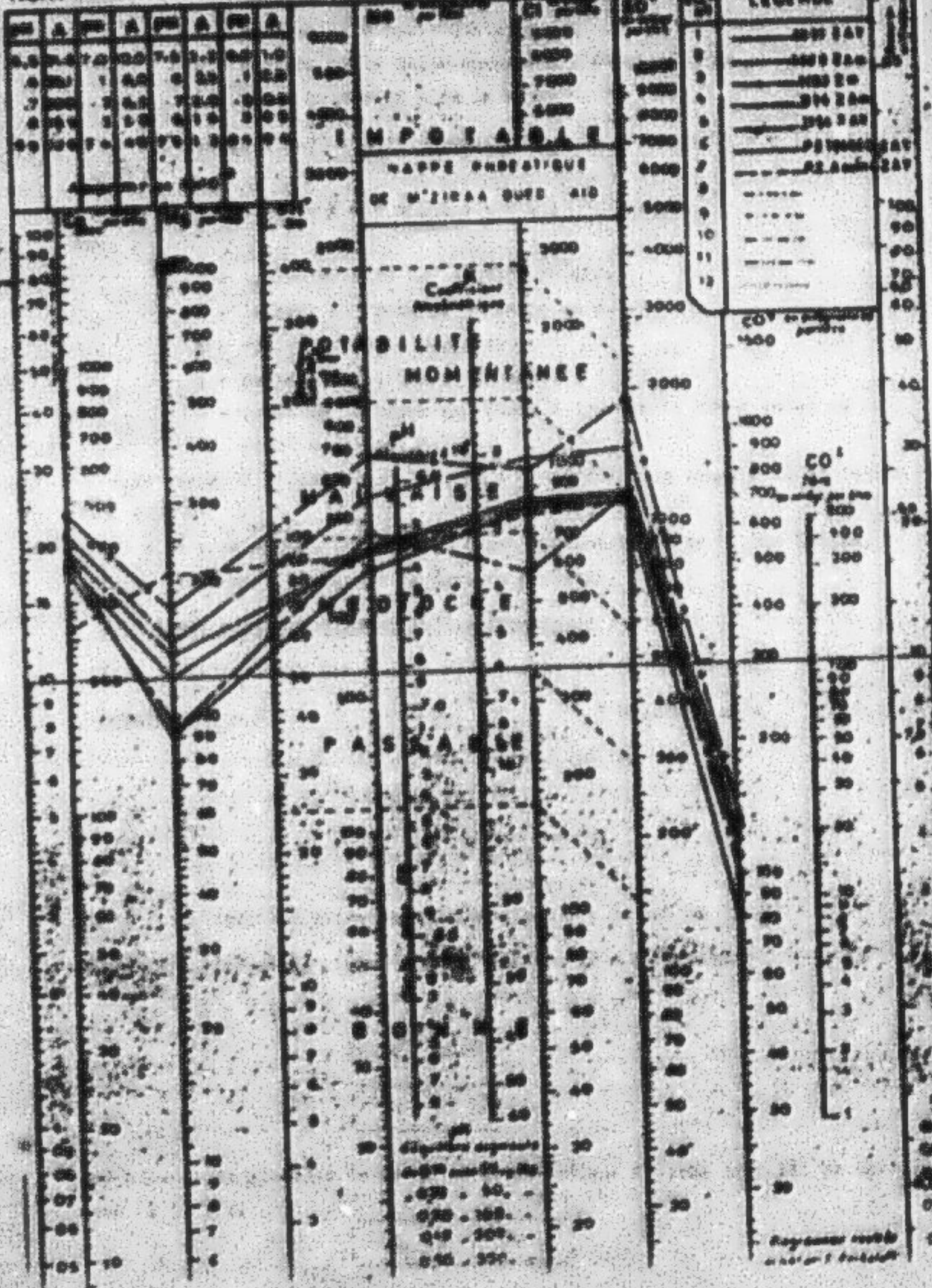
#### Hauteur potentielle des nivelles :

On estime par méthodes potentielle dynamique, le volume d'eau qui passe à travers une section de l'horizon aquifère orientée à la direction de l'écoulement et qui provient à la nappe par suite de l'assèchement périodique des précipitations et de l'absorption d'eau par les formations superficielles.

La méthode de détermination de ces nivelles se base sur la loi de Darcy

## DIAGRAMMES LOGARITHMIQUES

Nom



avec :

K : perméabilité horizontale en m/s

S : section de la nappe normale à l'écoulement en m<sup>2</sup>

i : pente hydraulique de la nappe

Cette loi de Darcy peut s'écrire aussi en remplaçant S par ( $e \times l$ ) sous la forme :

$$Q = K S I = K \times e \times l \times i = T L i$$

avec :

T = transmissivité horizontale en m<sup>2</sup>/s

L = largeur du front de la nappe en m.

e = épaisseur de la nappe en m.

i = pente hydraulique de la nappe

Q = débit de la nappe qui passe à travers le front en m<sup>3</sup> au débit de la nappe.

Dans la nappe de M'Ziria Oued Aïd, on a considéré deux zones d'alimentation qui sont :

- La première au piedmont du flanc septentrional de Dj Bou Meijma,
- La seconde au niveau de Kruchen er Rabib.

#### Calcul des ressources potentielles dynamiques :

Zone 1 : L'inclinaison prise en considération est la courbe 7%.

Résultat : L = 2 km      i = 7%      T = 2.10<sup>-3</sup> m<sup>2</sup>/s

$$\begin{aligned} Q &= T \cdot L \cdot i = 2 \cdot 10^{-3} \cdot 2 \cdot 10^3 \cdot 7 \cdot 10^{-2} \\ &= 28 \cdot 10^{-3} \text{ m}^3/\text{s} \end{aligned}$$

$$\boxed{Q = 28 \text{ l/s}}$$

Zone 2 : L'inclinaison prise en considération est la courbe 70m.

Résultat : L = 2,5 km      i = 2,9%      T = 4.10<sup>-3</sup> m<sup>2</sup>/s

$$\begin{aligned} Q &= T \cdot L \cdot i = 4 \cdot 10^{-3} \times 2,5 \cdot 10^3 \times 2,9 \cdot 10^{-2} \\ &= 29 \cdot 10^{-3} \text{ m}^3/\text{s} \end{aligned}$$

$$\boxed{Q = 29 \text{ l/s}}$$

Les ressources globales de cette nappe phréatique M'Ziria oued Aïd se chiffrent donc à 57 l/s.

$$\boxed{Q_g = 57 \text{ l/s}}$$

Ces ressources proviennent essentiellement de la nappe profonde du continental Intercalaire. Ceci est confirmé aussi bien par la température que par la chimie de l'eau.

De côté du flanc septentrional de Dj Bou Medjeur par l'intégration des accidents tectoniques P4 et P2 une partie de l'eau du continental Intercalaire se déverse dans le remplissage Quaternaire, l'autre partie émerge sous forme de sources perennant donnant l'écoulement de oued el Hammam.

De côté de Krechou er Rebib, la communication entre la nappe phréatique et la nappe du continental Intercalaire semble s'effectuer par drainages.

La contribution des eaux de surface par infiltration directe et rehaussement dans les ressources de la nappe phréatique de N'Zirda oued Aïd devient secondaire et ne représente que 10% environ des ressources estimées par la méthode des isopènes.

#### IX. CONCLUSION :

La plaine de N'Zirda oued Aïd renferme dans les sédiments détritiques du Quaternaire une nappe phréatique qui se répartie entre deux horizons aquifères le premier se situe entre 20 et 25m et le second entre 35 et 40m. Cette nappe est exploitée par 94 puits de surface dont 66% sont forés par sondes à main.

L'évaluation des ressources de la nappe a permis de dégager 571/s pour une exploitation qui est de 40% environ ce qui dégage 171/s comme ressources disponibles.

Les ressources de cette nappe dépendent étroitement de la nappe du continental Intercalaire qui connaît actuellement une baisse de sa charge artésienne à cause de l'intensification de son exploitation. Cette baisse se reporte par une baisse du débit d'alimentation de la nappe phréatique de N'Zirda oued el Aïd comme c'est le cas pour le débit des sources de oued el Hammam qui connaît une déclivité régulière depuis 1969 et qui est assurée actuellement.

Les travaux de CBS réalisés ces dernières années dans le cadre du projet de développement du Sud, au niveau du lit de oued el Aïd dans les zones où l'eau commence à s'étaler et où s'effectue l'épannage des eaux de leurs crues sont de nature à avoir un effet favorable pour la recharge de la nappe phréatique.

Les nouvelles créations de puits de surface sont recommandées en dehors des dépressions présentant une salinité excessive ( $\text{Na} > 4 \text{ g/l}$ ), ce n'est que dans les zones assainies de la nappe où il est acceptable d'envisager la création de 10 puits de surface.

De côté du piémont oued Hammam Krechou er Rebib, on propose, la création de 10 puits de surface, leur profondeur sera comprise entre 30 et 40m.

Dans la zone Sud de la plaine de M'Zidha aussi Aïn, aux environs de Sidi Abdellah aussi Aïn , on propose également la création de 10 puits de surface, leur profondeur sera comprise entre 30 et 35 mètres.-

ATARI KED.

**BIBLIOGRAPHIE**

---

1. AYADI Mohamed : Etude hydrogéologique préliminaire du bassin de Ouled Mortebs. Rapp. Int., DME Gabès, 1996.
2. AYADI Mohamed : Les eaux d'El Hamm ressources et bassins en eau. Rapp. Int. , DME Gabès, 1997.
3. AYADI Mohamed : Ressources en eau dans les régions de M'sirda, oued el Aïd et Hadjri. Rapp. Int., DME Gabès, 1998.
4. HABIBI Ahmed | BEN ZACCAR Brahim : Situation de l'exploitation des nappes phréatiques du Gouvernorat de Gabès. Rapp. Int., DME Tunisie, 1997.
5. HABIBI Ahmed - BENZIT Mohamed : Etude hydrologique et Hydrogéologique du bassin de Ouled Mortebs. Rapp. Int., DME Gabès, 1999.

*SA*

## **S O N N A I R E**

---

### **I. Liste des Tableaux :**

- 1 - Caractéristiques des points d'eau nivélés dans la région de N'Zinda oued Aïd.
- 2 - Inventaire des points d'eau dans la région de N'Zinda Oued Aïd.

### **II. Liste des coupes lithologiques :**

- 1 - Coupe lithologique et technique du piézomètre N'Zinda Combat n° IRH : 19660/3. Ela. 12
- 2 - Coupe lithologique et technique du piézomètre oued Aïd n° IRH : 19673/3. Ela. 11
- 3 - Coupe lithologique et technique du piézomètre el Aouina n° IRH : 19690/3. Ela. 14

### **III. Liste des planches :**

- 1 - Carte piézométrique de la nappe phréatique de N'Zinda oued Aïd. Planche 1.
- 2 - Carte de température de la nappe phréatique de N'Zinda oued Aïd. Planche 2.
- 3 - Carte de nivélisation totale de la nappe phréatique de N'Zinda oued Aïd. Planche 3.

**Tableau 1 : Concentration des points d'un niveau  
dans la région N'Gouléa tout AII**

Nom du point d'eau	P. Nombre	Altitude m	P. (%)	Surface m <sup>2</sup> (m <sup>2</sup> )	D.P. (%)	T. % (°)
Bal. Goud Goudou	1020	64,15	71,9	4,160	21,33	34,5
Sedimente N'Gouléa D.Goudou	1021	70,79	72,93	3,300	20,30	33,3
Balou						
Mouyoun Mouyoun	450	60,13	71,90	3,340		
Bad Mamek Mamek	1027	64,00	76,35	3,340	47,80	34,5
Bad Dye Nguigme Dye	1129	64,14	69,39	3,340	36,45	34,1
Goumou Dye AII						
Be Lagoon Baououe	1028	59,17	64,97	4,300	30,00	34,5
Balouf Dye Goumou Dye AII	1105	57,4	66,95	3,340		34,8
Boumou						
Aumar Goumou	1111	61,17	70,82	3,400	47,00	36,7
Mahomed Dye Ahmed Dye	1114	56,79	65,57	3,340	23,35	35,7
Nguigme Goumou						
Achabbat Dye Nguigme	1135	56,99	65,34	3,340	38,00	33,5
Boutou						
Soumou Dye Mahomed Dye	1139	59,76	64,71	4,160	40,05	35,0
Abdoulaye Goumou						
Houmou Dye Soumou Dye	1134	57,36	63,91	3,340	27,33	35,5
Mahomed Dye Nguigme #1	1138	59,51	43,04	3,600	30,9	
Balouf						
Mohamed Dye Abdoulaye	1147	55,96	59,41	4,600	-	30,3
Boutou						
Ali Mahomed Dye Boutou	1129	60,45	64,69	4,300	35,05	37,1
Boutou						
Mahomed El Attar El Boutou	1137	59,1	64,45	3,340		39,8
Mahomed Boutou						
Mahomed El Boutou Dye Boutou	1092	56,93	62,38	4,160	32,00	37,0
Boutou						
Mahomed Dye Soumou Dye	1131	59,08	63,37	3,340	34,00	35,8
Soumou Dye Abdoulaye	1129	57,43	59,38	3,340	-	39,4
Dye Boutou						
Moussi et Robert Dye Boutou	1139	55,18	59,38	3,340	30,35	30,3
Boutou						
Mahomed Dye Ammar Dye	1024	59,29	67,36	3,340	37,00	38,1
Dye Dye Dye AII Goumou	1013	55,79	64,35	3,340	35,05	35,1
Moumou Dye Oumar Dye	1026	56,49	66,99	3,340	30,05	34,8
Goumou Dye Maamou Dye	1027	56,79	66,38	3,340	30,05	34,8
Goumou Dye Goumou Dye	1131	55,79	64,79	3,340	37,00	37,3
P.D. Boutou						
Y.R. Boutou						

1  
2  
3  
4  
5  
6  
7  
8  
9

03	99999999. 1 999 9 5 1 9999 1 999
05	2222 22 2 2222 22222 222222 2 2 22
• 5	2 222222222 1 2 2222222 22 222222222 2222
• 3	2222...22. 22 2...2222. 22 2222. 22 2222. 2222
• 3	22222222222 22 222222222 22 222222222 2222
• 3	2222222222! 22 222222222 22 222222222 2222
• 3	222222222222 22 222222222!22 222222222 2222
• 2	2222222222222 22 22222222222 22 2222222222 2222
• 2	22222222222222 22 222222222222 22 22222222222 2222
• 2	222222222222222 22 2222222222222 22 222222222222 2222

5 5 5 5 5 5 5 5 5 5 5 5 5 5 5 5 5 5

3 3 3 3 3 3 3 3 3 3 3 3 3 3 3 3 3 3

3 3 3 3 3 3 3 3 3 3 3 3 3 3 3 3 3 3

3 3 3 3 3 3 3 3 3 3 3 3 3 3 3 3 3 3

3 3 3 3 3 3 3 3 3 3 3 3 3 3 3 3 3 3

3 3 3 3 3 3 3 3 3 3 3 3 3 3 3 3 3 3

3 3 3 3 3 3 3 3 3 3 3 3 3 3 3 3 3 3

3 3 3 3 3 3 3 3 3 3 3 3 3 3 3 3 3 3

3 3 3 3 3 3 3 3 3 3 3 3 3 3 3 3 3 3

3 3 3 3 3 3 3 3 3 3 3 3 3 3 3 3 3 3

3 3 3 3 3 3 3 3 3 3 3 3 3 3 3 3 3 3

DIRECTION GENERALE  
DES RESSOURCES EN EAU

FORAGE P.Z. M'giram Sombot - Fig. 12

N° L.B.N. 19680/3

SITUATION	TECHNIQUE	DISPOSITIONS
Latitude... 33° 54' 10"	Entreprise en forez... D.A.E.	Hauteur... 2,76 m.s.m. à 6000
Longitude... 8° 43' 30"	Altitude des travaux... 1.050.40.50...	Surface... 1.000 m²
Altitude... 59,23.....	Fin des travaux... 10.11.1968.	Profondeur... 100 m
Carte n°. 74. - 1/100.000		

	NATURE DU TERRAIN	COUPE	STAT DU PUITS
10	Argile siliceuse avec calcaire et gypse. Sable argileux rose + grès + calcaire. Argile solifère siliceuse à gypse. Nids de cristallites de gypse.	-0--0-	
20	Sable argileux + argile calcaire. Légèrement granularisé avec nodules de gypse. Argile plastique rougeâtre à p. fine calcaire. Alternance de graviers cal. et argile calcaire.	-0--0-	Tubage en Ø 6"
30	Argile plastique granulaire avec poudre de gypse. Poudre calcaire alternant avec des fins. Argile solifère à poudre de gypse.	-0--0-	de 0 à 53,0 mètres. Sur 6 m à partir du fond.
40	Argile solifère plastique riche en calcaire.	-0--0-	
50	Argile tuffeuse compacte rosée en grès.	-0--0-	
60	Alternance d'argile et grès. Argile solifère rose et jaune rosé riche en gravier et grès. + grès cristallin à gypse légèrement truffé.	-0--0-	
70	Alternance d'argile et grès. Argile solifère rose et jaune rosé riche en gravier et grès. Argile solifère rose et jaune rosé riche en gravier et grès. Argile solifère riche en gravier grès avec poudre de calcaire. Argile solifère.	-0--0-	Total des trous en Ø 6" de 58 m à 63,4 m
80	Argile solifère rose et jaune rosé riche en gravier et grès. Argile solifère rose et jaune rosé riche en gravier et grès. Argile solifère riche en gravier grès avec poudre de calcaire.	-0--0-	Total de démantèlement de 63,4 à 66,6 m
90	Argile solifère rose et jaune rosé riche en gravier et grès. Argile solifère rose et jaune rosé riche en gravier et grès. Argile solifère riche en gravier grès avec poudre de calcaire. Argile solifère riche en gravier et grès avec poudre de calcaire.	-0--0-	
100	Argile solifère riche en gravier et grès.	-0--0-	
			— Remaniement en Ø 6" 6%
			Fond du P.Z.

**DIRECTION GENERALE  
DES RESSOURCES EN EAU**

**FORAGE : GUEBEL MID**

- 550 -

WILHELM 19613/5

**LOCALISATION**  
Latitude : 37° 56' 30"  
Longitude : 1° 21' 45"  
Altitude :  
Carte n° 82.1 au 1/100 000

**ENTREPRISE**  
Entreprise de forage : S.G.R.E.  
Début des travaux : 13-04-59  
Fin des travaux : 6-04-59

**INFORMATIONS**  
Niveau : 85.20m R.R. (m), 24.60m  

Profondeur				
Température	16.5	16.2		
Remontement	13.05			

Profondeur	Description du terrain	Groupe	Etat de puits
0	gravier et galets calcaires		
20	argile jaune sableuse riche en gravier calcaire et peu cristallisée avec quelques calcaires		
40	argile grise fauve très riche en calcaire profondément décoloré et un peu plus de marron jaune et verte.		
60	argile jaune clair griseâtre parfois rougeâtre ou marron jaune fauve et un peu grise.		
80	calcaire dolomique		
100	argile jaune et verte parsemée d'écailles bleues bleuâtres bleuâtres		
120	argile jaune griseâtre et verte		
140	argile verte et jaune plastique		
160			

DIRECTION GENERALE  
DES RESSOURCES EN EAU

FORAGE PR. EL AOUINA

-Fig 4-

N° FORAGE AF6395

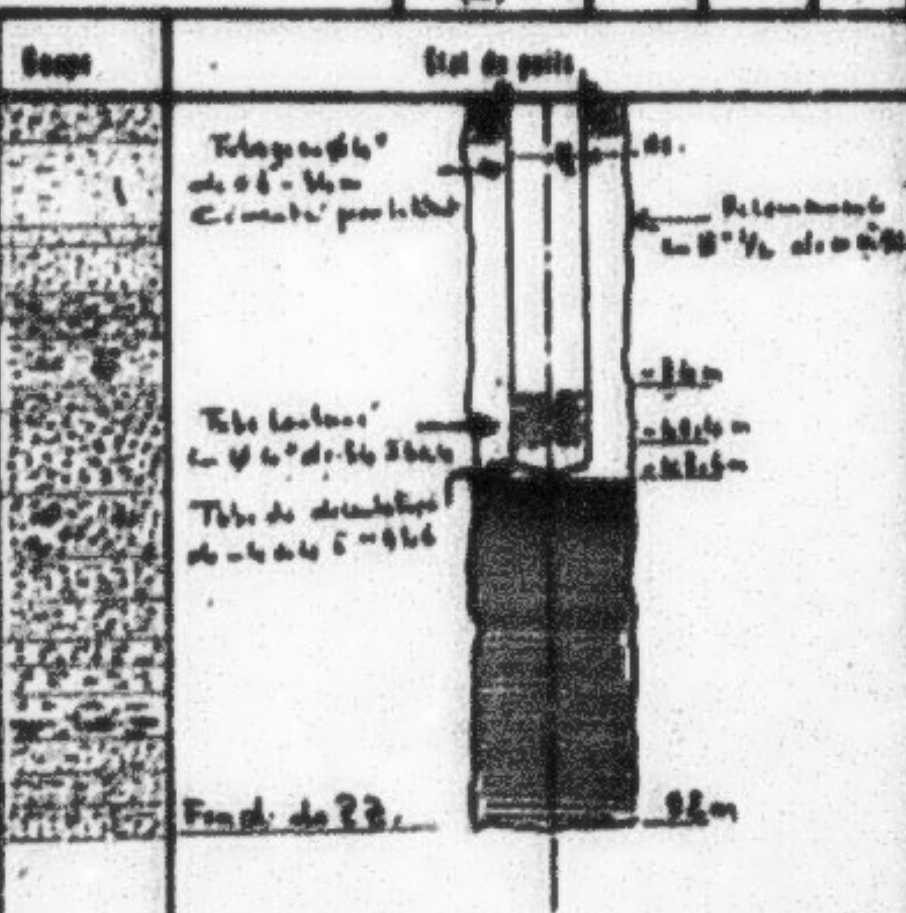
	Altitude
Latitude	31° 45' 30"
Longitude	8° 21' 50"
Altitude	1450 m
Carte n° 74 au 1/250 000	

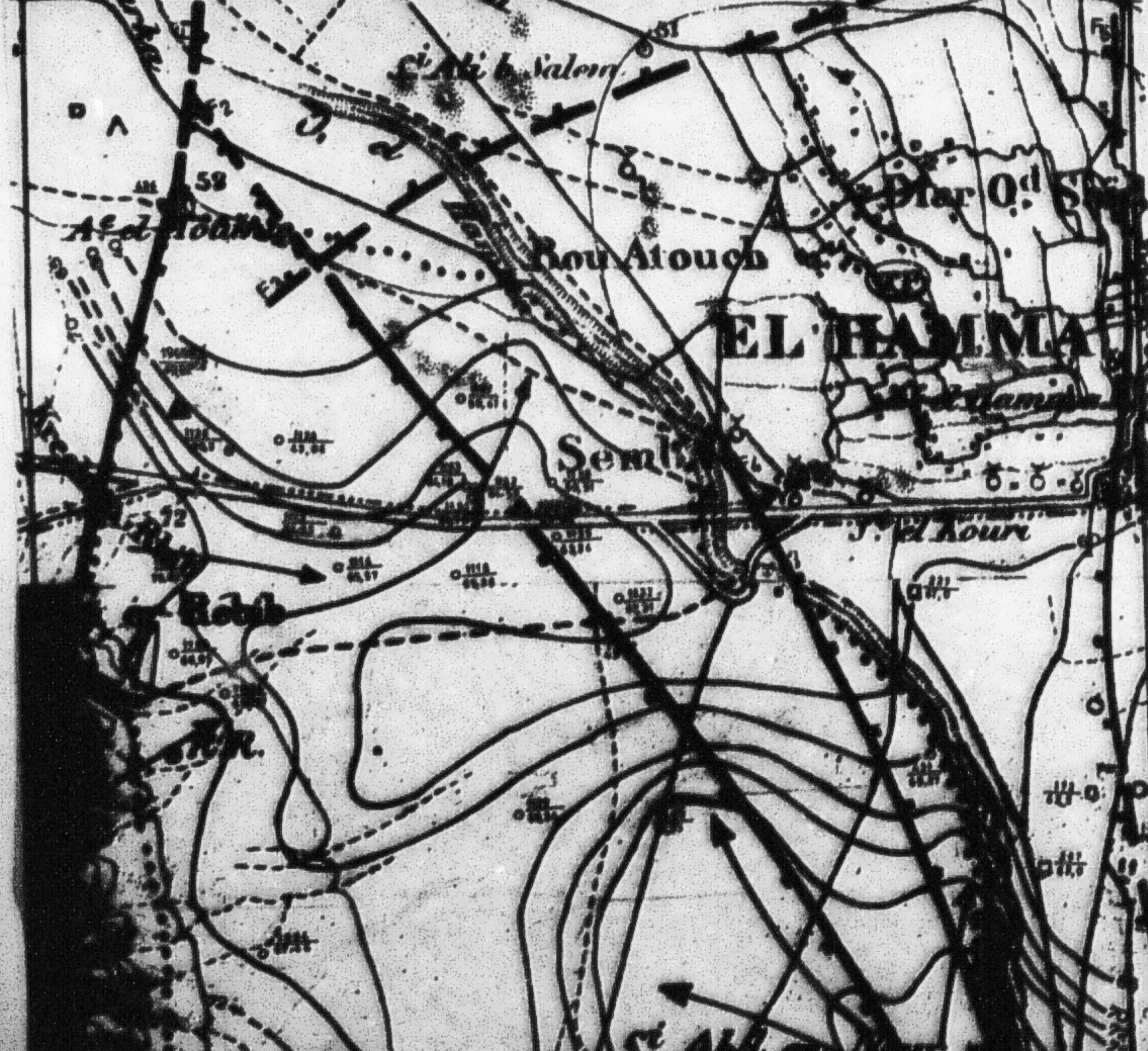
	Entreprise de forage, DGA/E
	Objet des travaux.

Plan des travaux: 4. C. 80

	MONTAGNAIRE
Altitude	1450 m
Bassin	W.
Ressortement	(m)

N°	Objet de forage
13	Travaux d'exploration et de sondage.
14	Travaux de recherche de la nappe aquifère.
15	Tableau moyen en faire.
16	Prélèvements de roches.
17	Argile calcaire peu graisseuse et difficile.
18	Argile calcaire à silex.
19	Gouge calcaire en talus d'un ruisseau coulé.
20	Grande calcaire à Trigloides.
21	Grande calcaire à Chiloglans.
22	Argile calcaire grasseuse.
23	Pierre bleue à Silex.
24	Argile calcaire grasseuse.
25	Grande calcaire très pénétrée par les eaux.
26	Argile calcaire peu graisseuse.
27	Grande calcaire peu graisseuse.
28	Argile calcaire peu graisseuse.





Siwa Salara

R 58

At Touq

At Touq

EL HAMIMA

Sennar

60-61

Roble

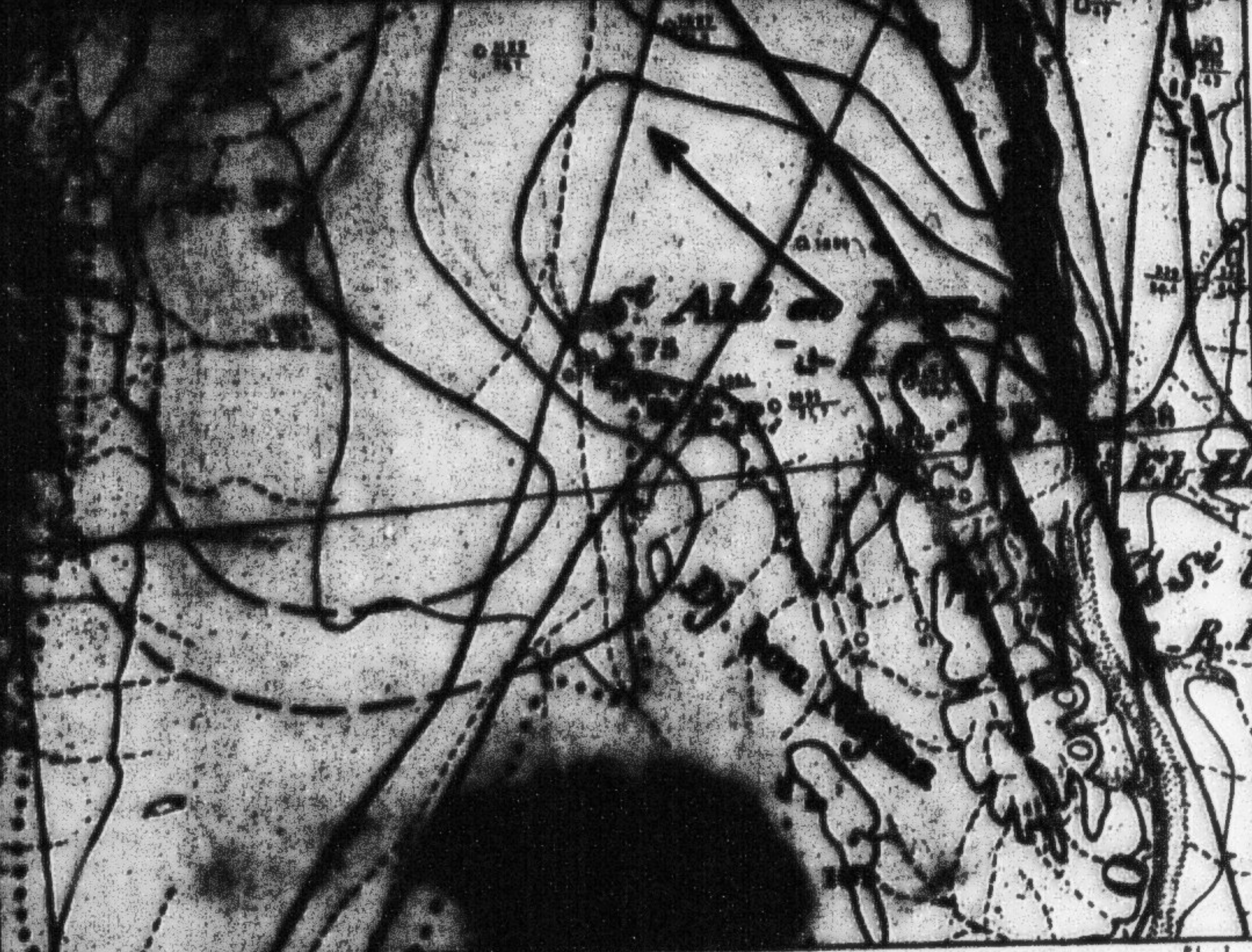
0 MI  
0 KM



Carte piézométrique de la nappe phréatique de M'zirès  
échelle 1/25 000

- Courbe isopiese
- $\frac{1136}{50,3}$  Puits de surface avec
  - 1136: Numéro d'ordre
  - 50,3: Niveau piézométrique
- Axe d'écoulement de la nappe
- ▲  $\frac{1966075}{50,91}$  Piézomètre avec
  - 1966075: N° 100
  - 50,91: Niveau piézométrique
- $\frac{227}{51,5}$  Puits de surface de la nappe d'el Hamra
  - 227: Numéro d'ordre
  - 51,5: Niveau piézométrique
- Fente reconnue.
- Zone limitée par des points.





Carte des isothermes de la nappe phréatique de Mzirda

Echelle 1/25000

L E G E N D E

- Courbe d'égale température
  - $\frac{1126}{343}$  Point de surface arté
  - Sources
  - △  $\frac{1989}{70}$  Piézomètre arté
  - Axe d'écoulement de la nappe
  - Parties isolées
- Isotherme
- Point de surface arté d'inventaire
- Température
- Point de surface arté
- Température
- Limite de la nappe

D: 227 Point de surface de la nappe d'Hammam  
n° 227 Numéro d'ordre

{ -40: Température.

— Limite de la nappe

B E N

Gueule Bechima

inch

Salon

Bou Atouch

EL HAMMAM

Semif

8-8-8

C-2

III

III

III

III

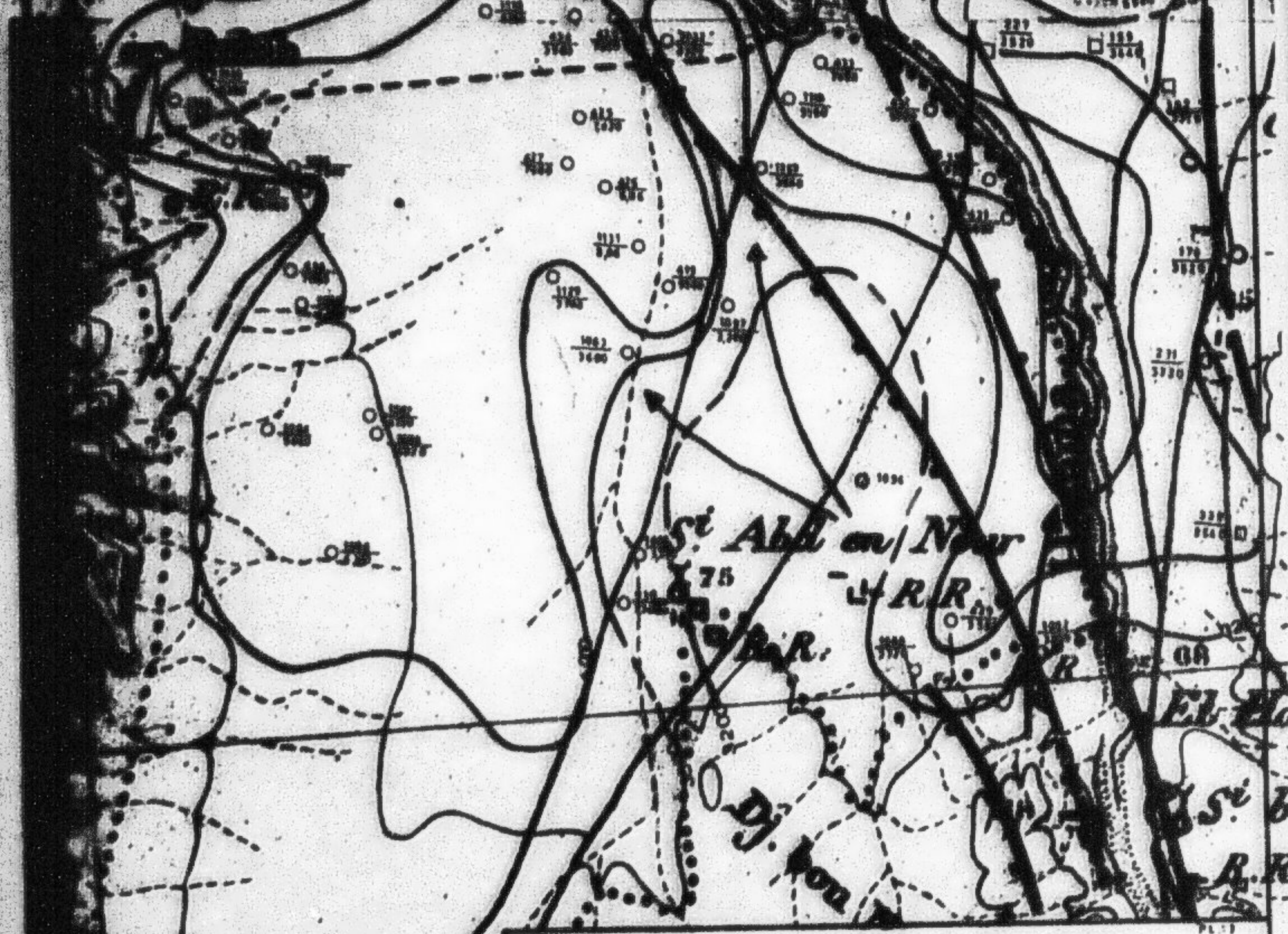
III

III

III

III

III



Carte des isocones de la nappe phréatique de M'Zirou  
échelle: 1/25 000

LEGENDE

- 7500 : Courbe d'épuisement minéralisation totale
- 1129 : Puits de surface avec  $\leq$  Numéro d'ordre  
Sécurité en mg/l
- Axe d'épuisement de la nappe
- 7500 : Piezomètre avec  $\leq$  N° 129  
Minéralisation totale en mg/l
- Fosses fossoyées
- Limite de la nappe

D : 1127, Puits de surface de la nappe d'El Hammam  
1129  
1130  
1131  
1132  
1133  
1134  
1135  
1136  
1137  
( 227 : Numéro d'ordre  
3520 : N.S. mg/l )

**PIN**

44

**VUES**